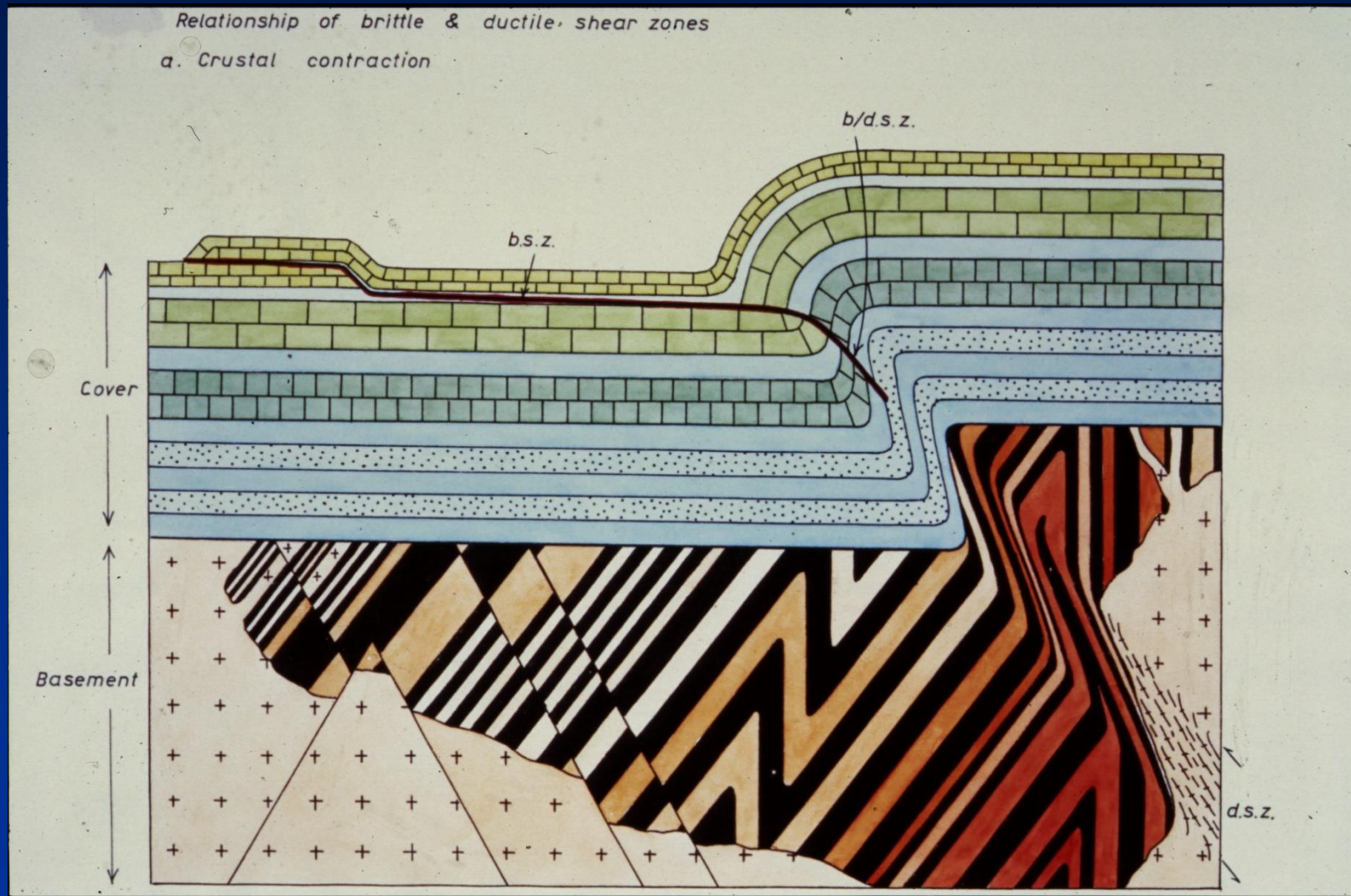


Dal duttile al fragile al duttile: faglie e zone di taglio



Da Ramsay & Huber, 1987

Immagini e fotografie tratte da:

- Dellisanti et al., 2008. Int J Earth Sci (Geol Rundsch), 97.
- Fossen H., 2010. Structural Geology. Cambridge University Press.
- Hatcher R.D., 1995. Structural Geology: Principles Concepts and Problems. Prentice Hall International.
- Mercier J., Vergely P., 1996. Tettonica. Pitagora Editore.
- Mercier J., Vergely P., 1995. Tectonique, 2ème edition, Dunod.
- Moore et al., 1986
- Passchier C.W., Trouw R.A.J., 2006. Microtectonics. Springer.
- Pini, materiale inedito.
- Pini, 1992. Bollettino della Società Geologica Italiana, 110.
- Price N.J., Cosgrove J.W., 1990. Analysis of Geological Structures. Cambridge University Press.
- Ramsay J. G., Huber M. I., 1983. The Techniques of Modern Structural Geology. Volume 1: Strain analysis. Academic Press Inc. .
- Ramsay J. G., Huber M. I., 1987. The Techniques of Modern Structural Geology. Volume 2: Folds and Fractures. Academic Press Inc.
- Selli L., 2006. Appunti dalle lezioni di Geologia Strutturale.
- Sholz C.H., 1990. The Mechanics of Earthquake and Faulting. Cambridge University Press
- Suppe J., 1985. Principles of Structural Geology. Prentice-Hall Inc.
- van der Pluijm B., Marshak S., 2004. Earth Structure: An Introduction to Structural Geology and Tectonics, Second Edition. WW Norton & Company.

Rocce di faglia

- 1) Duttili superficiali
- 2) Fragili
- 3) Duttili

- 1) Bande di scorramento granuli in arenarie-siltiti; clivaggio scaglioso
 - Transizione: da scorramento indipendente granuli a grain breakage; aumento pervasività e diminuzione spaziatura clivaggio scaglioso
- 2) Rocce di faglia da: taglio (clivaggio scaglioso), dissoluzione da pressione (PSC+meso-faglie+eventuale clivaggio scaglioso); cataclasiti, pseudotachiliti
 - Transizione: da cataclasiti a miloniti; pseudotachiliti
- 3) Zone di taglio duttile: miloniti ($S-C$ e $S-C'$ miloniti, pseudotachiliti (?), indicatori cinematici)



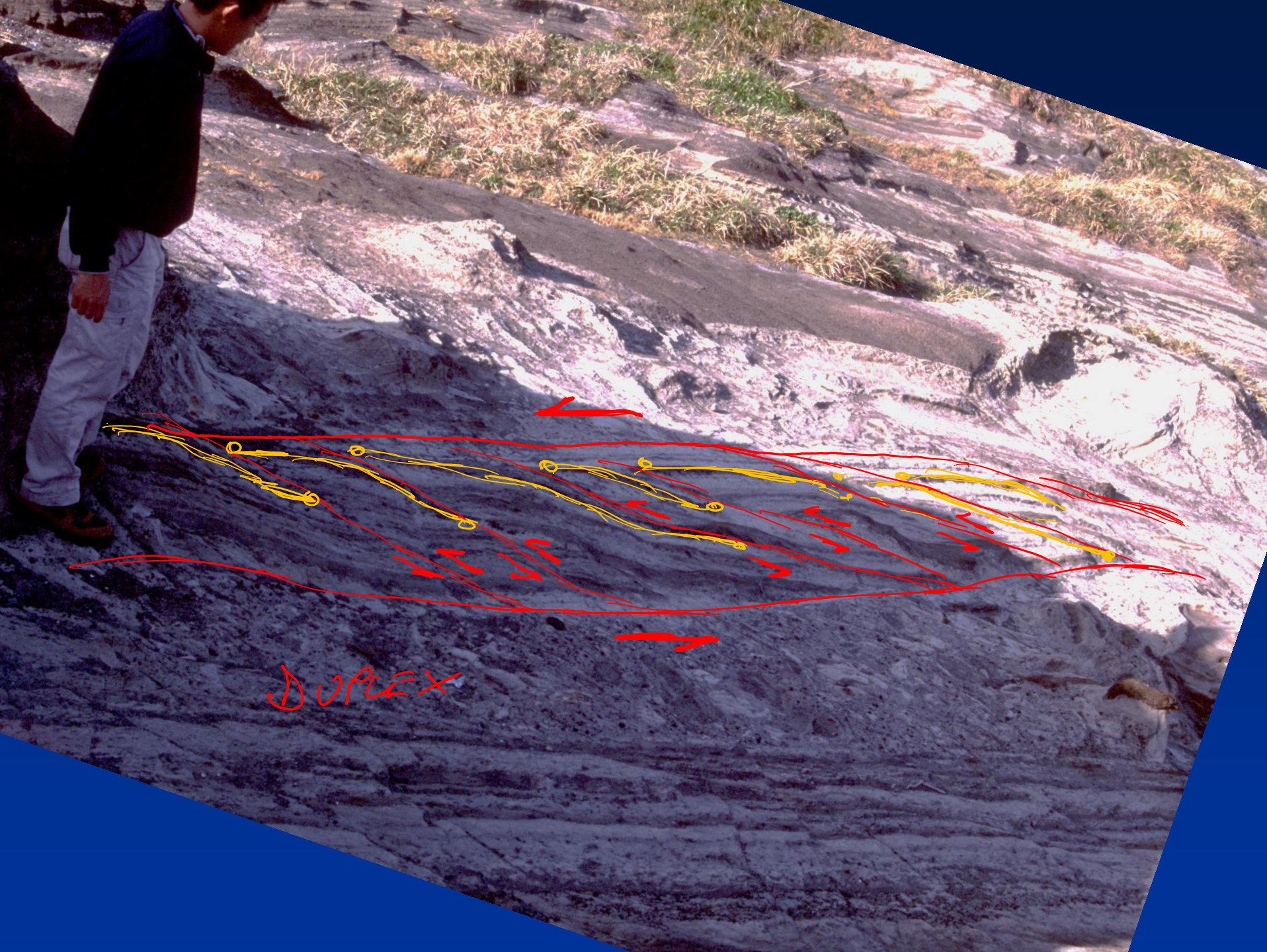
G.A. Pini

Kaitocho – Miura Peninsula (Japan)

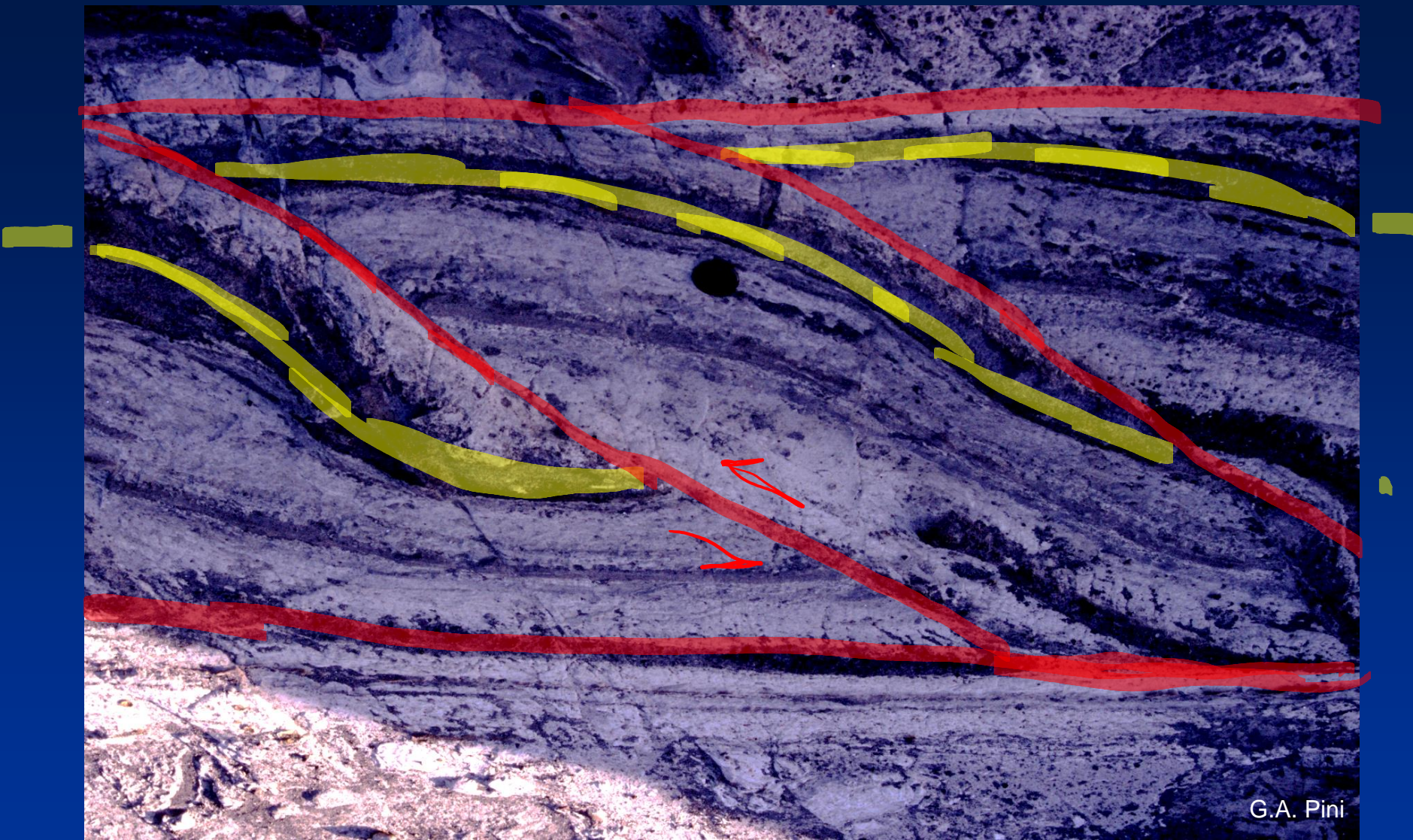
G.A. Pini



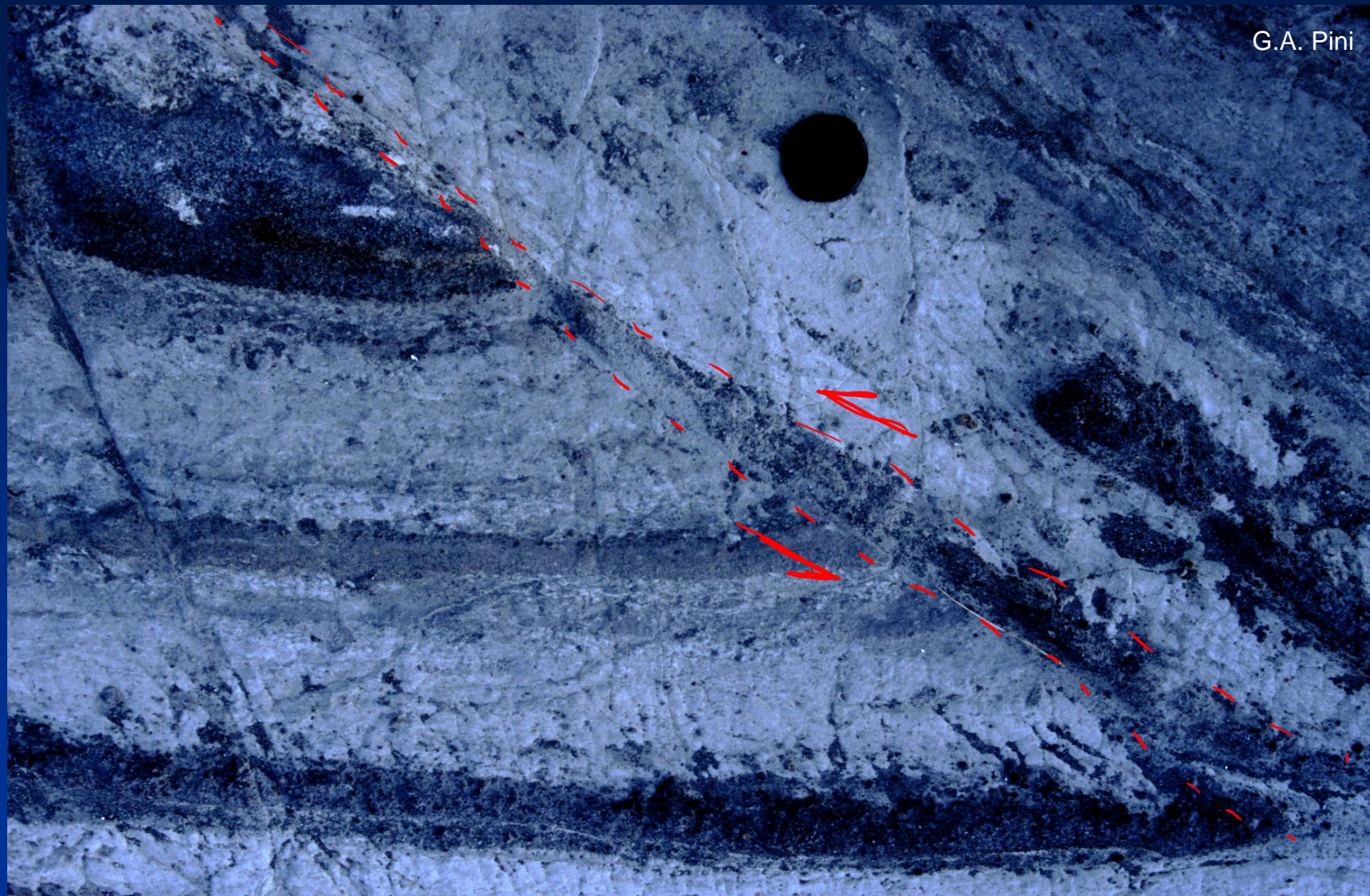
Kaitocho – Miura Peninsula (Japan)



DUPLEX



G.A. Pini

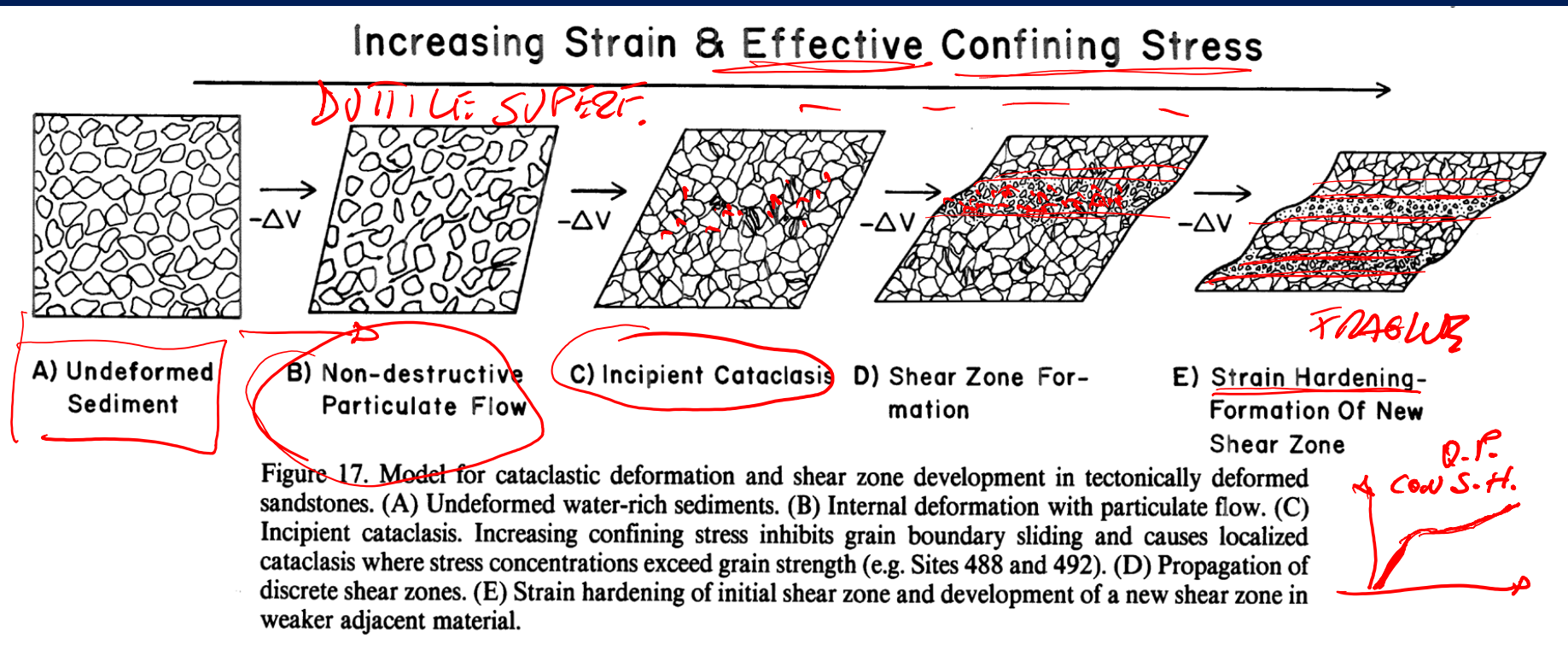


G.A. Pini



G.A. Pini

Caratteri delle shear zone in sabbie-arenarie al variare dello strain/stress di confinamento



Da Moore et al., 1986

$$\sigma_R = \sigma_0 + c_g \phi (\sigma_n - P_f)$$

$c_0 \approx 0$ \Rightarrow EFFECTIVE STRESS

Rocce di faglia

- 1) Duttili superficiali
- 2) **Fragili**
- 3) Duttili

- 1) *Bande di scorimento granuli in arenarie-siltiti; clivaggio scaglioso*
 - *Transizione: da scorimento indipendente granuli a grain breakage; aumento pervasività e diminuzione spaziatura clivaggio scaglioso*
- 2) *Rocce di faglia da: taglio (clivaggio scaglioso), dissoluzione da pressione (PSC+meso-faglie+eventuale clivaggio scaglioso); cataclasiti, pseudotachiliti*
 - *Transizione: da cataclasiti a miloniti; pseudotachiliti*
- 3) *Zone di taglio duttile: miloniti (S-C e S-C' miloniti, pseudotachiliti (?), indicatori cinematici)*

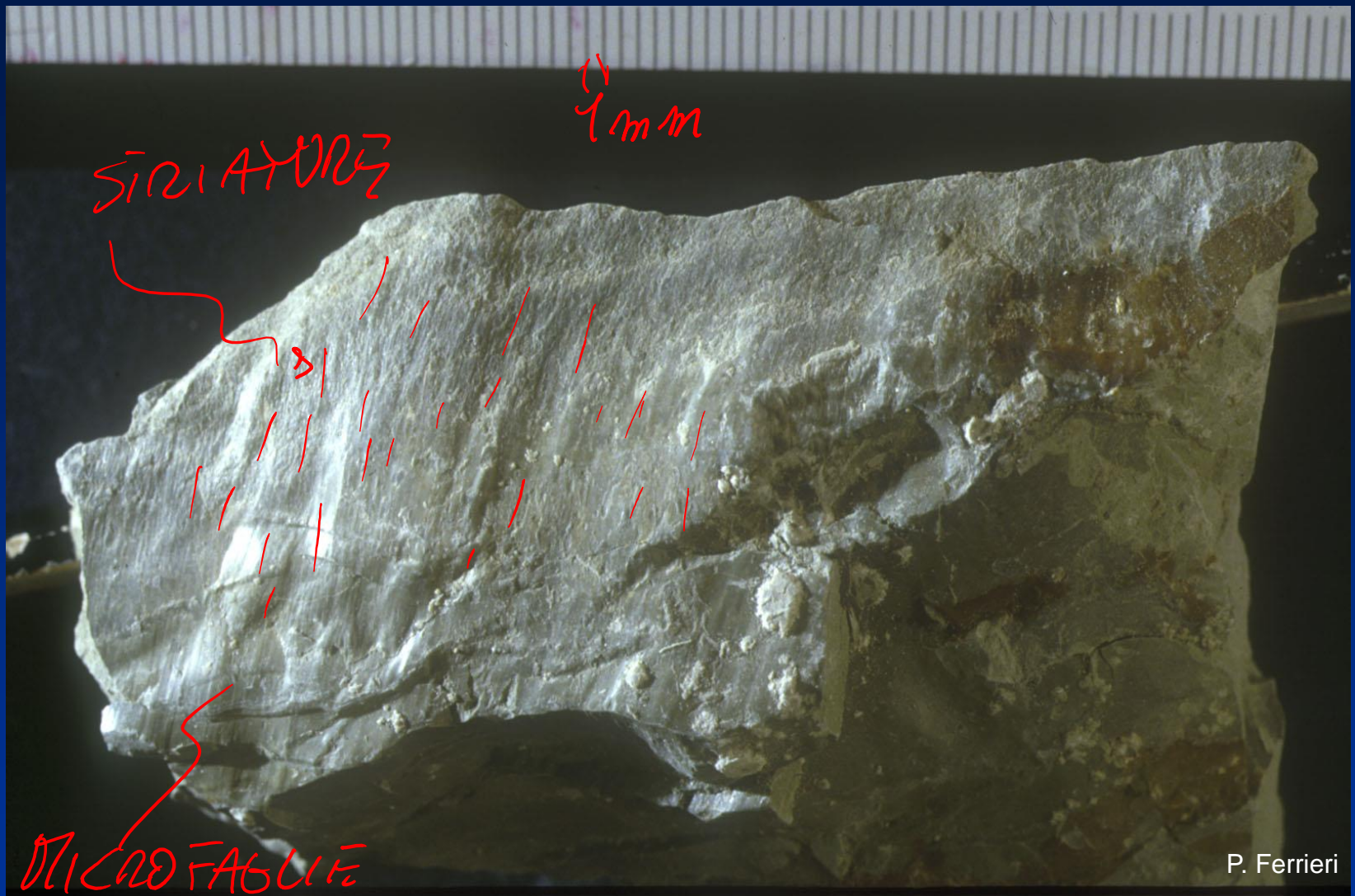


G.A. Pini

CLIVAGGIO SCAGLIOSO

G.A. Pini



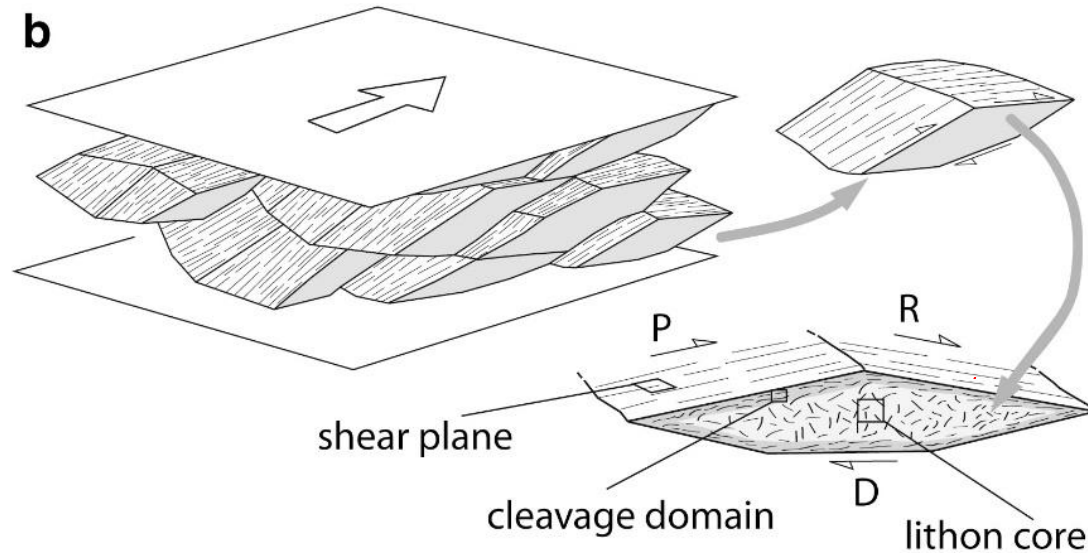
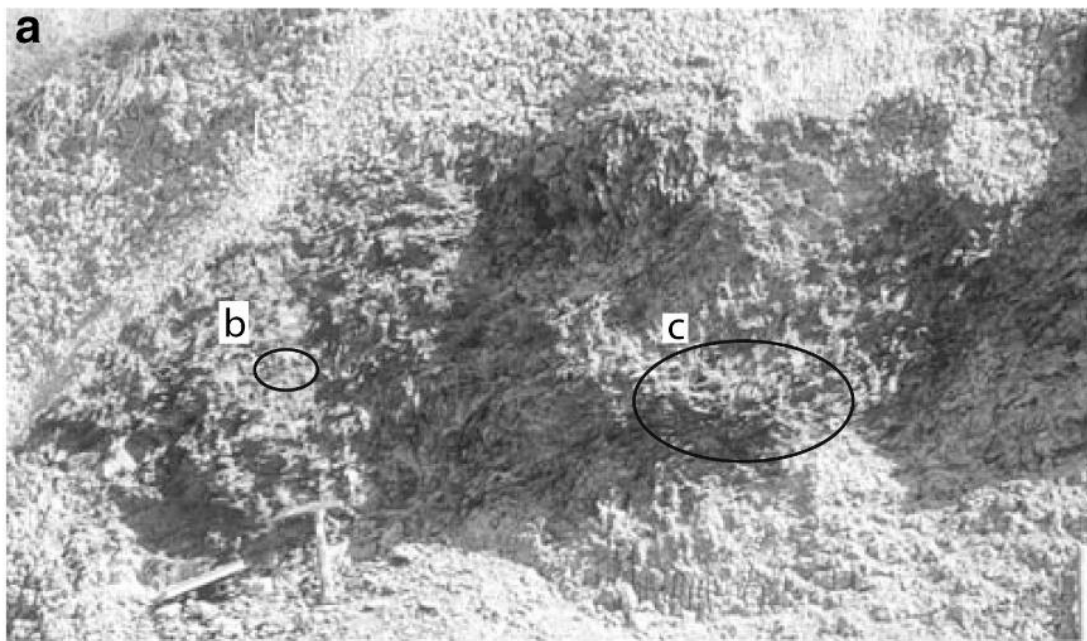


P. Ferrieri



CLEAVAGE
DOMAIN

CLOSED
SPACING
ANISOTROPY

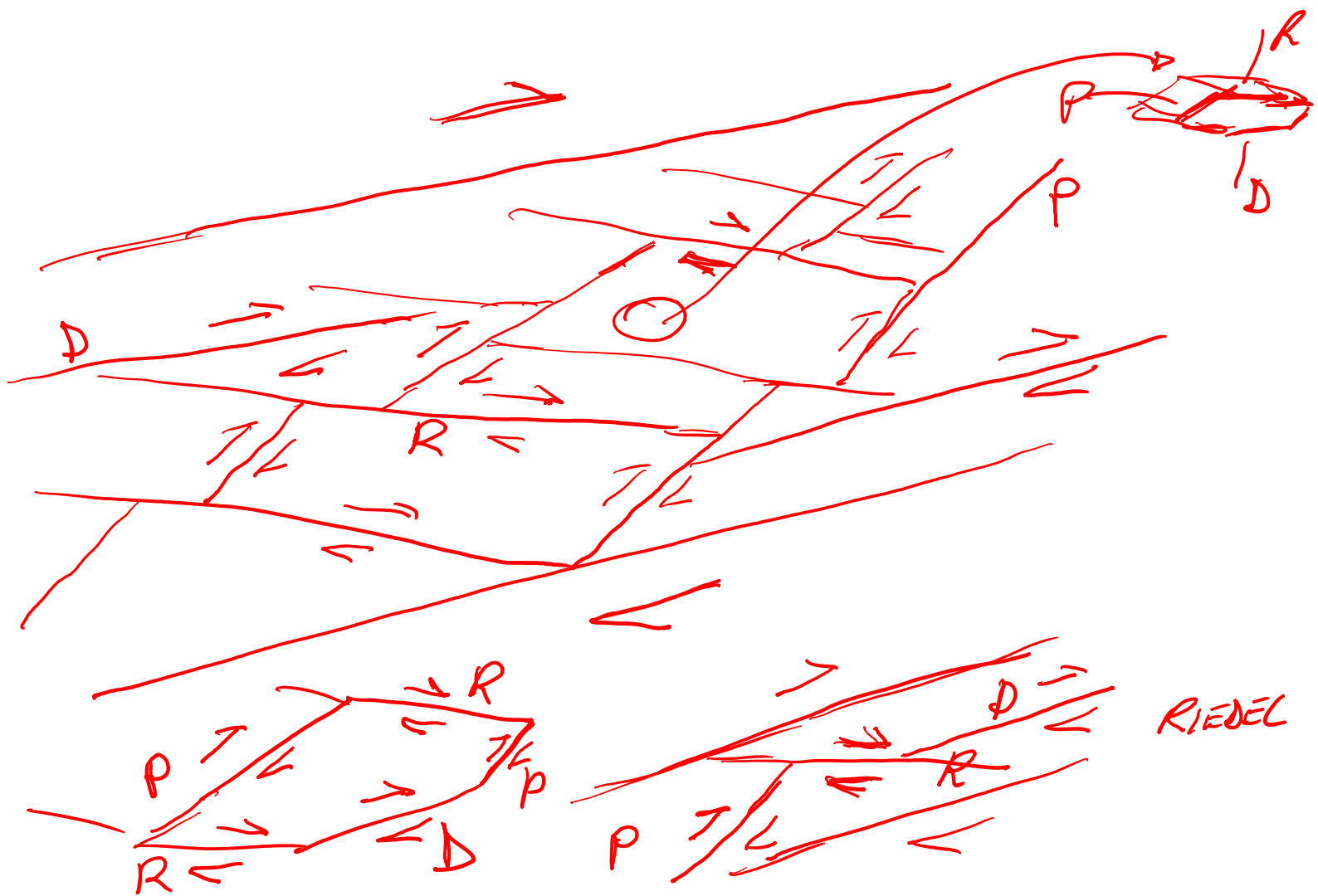


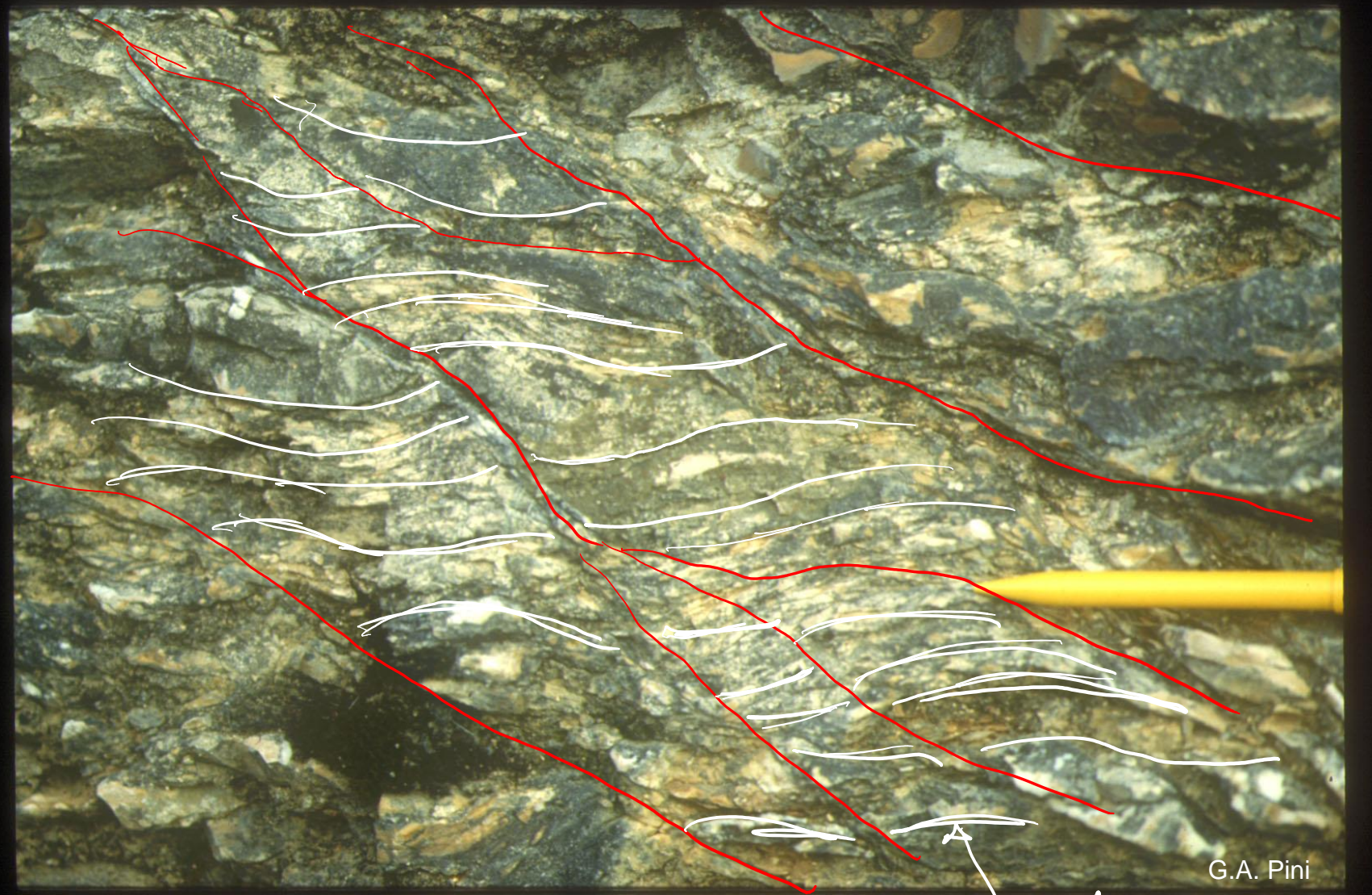
LITHON
CORE

OPEN &
RANDOM

FILLOSIC-
CAT
(ARCTICE)

ROCCIA DI
FAGLIO





G.A. Pini

CIVAGLIO
STILOLITO



CLIVAG610
SILLO
LITICO

200m

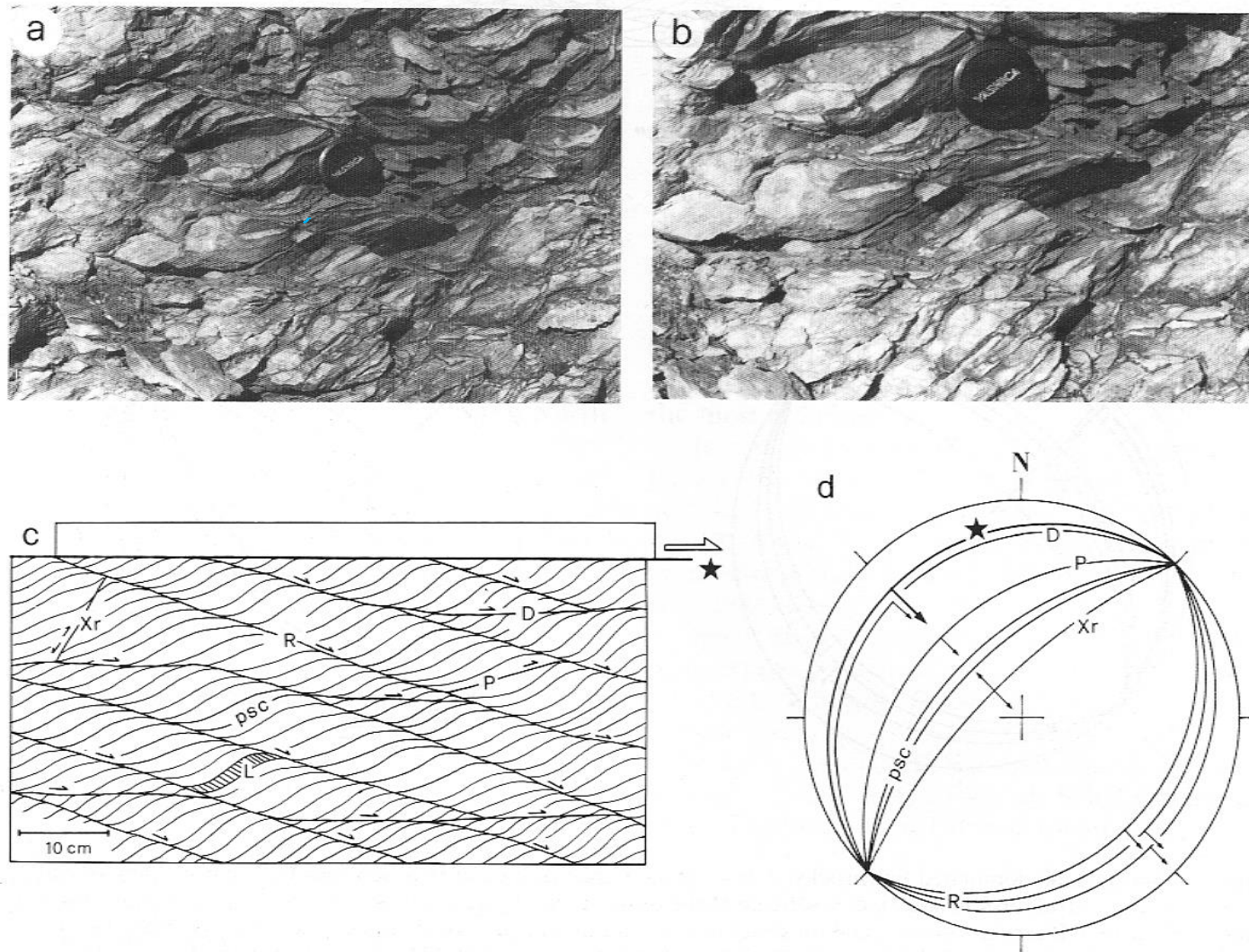
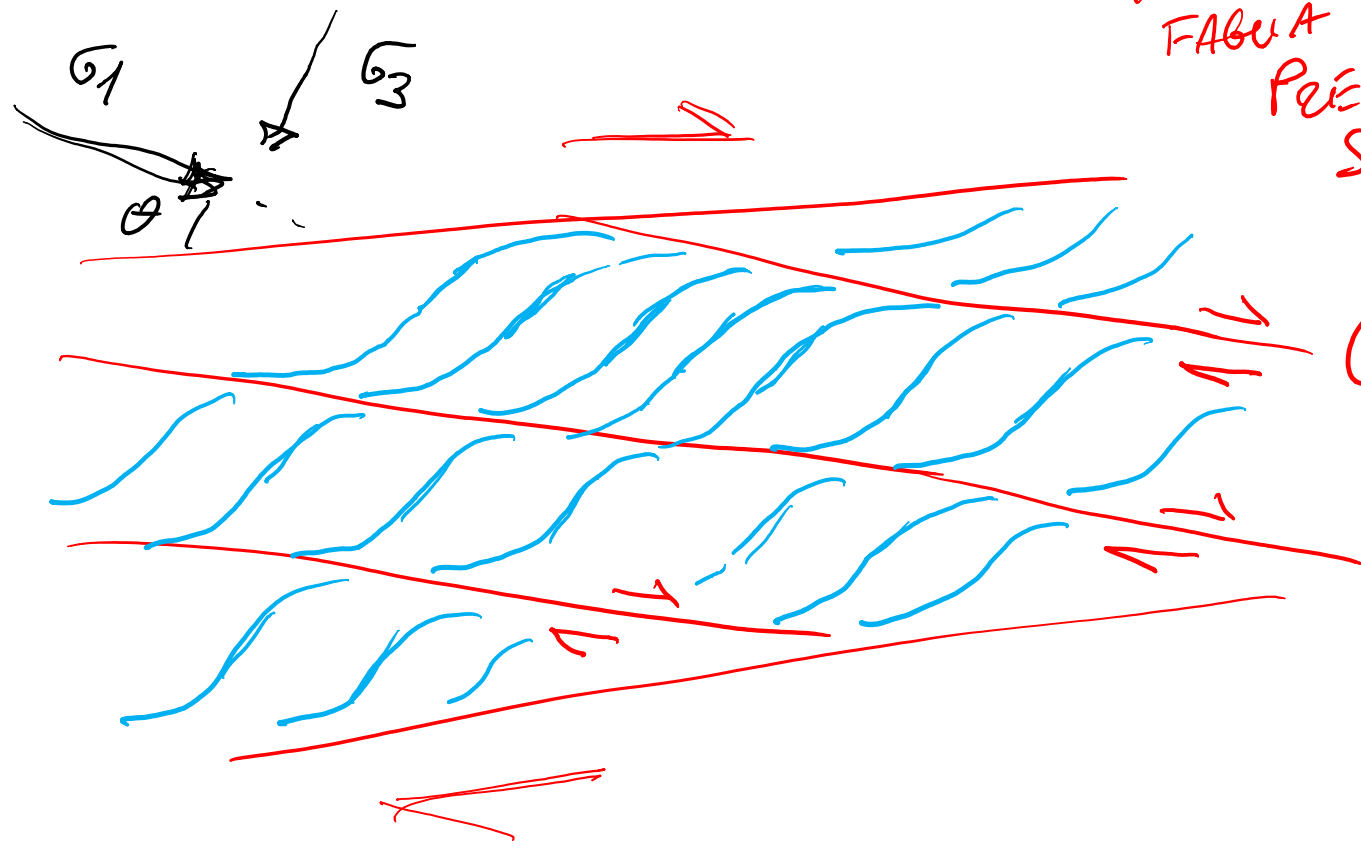


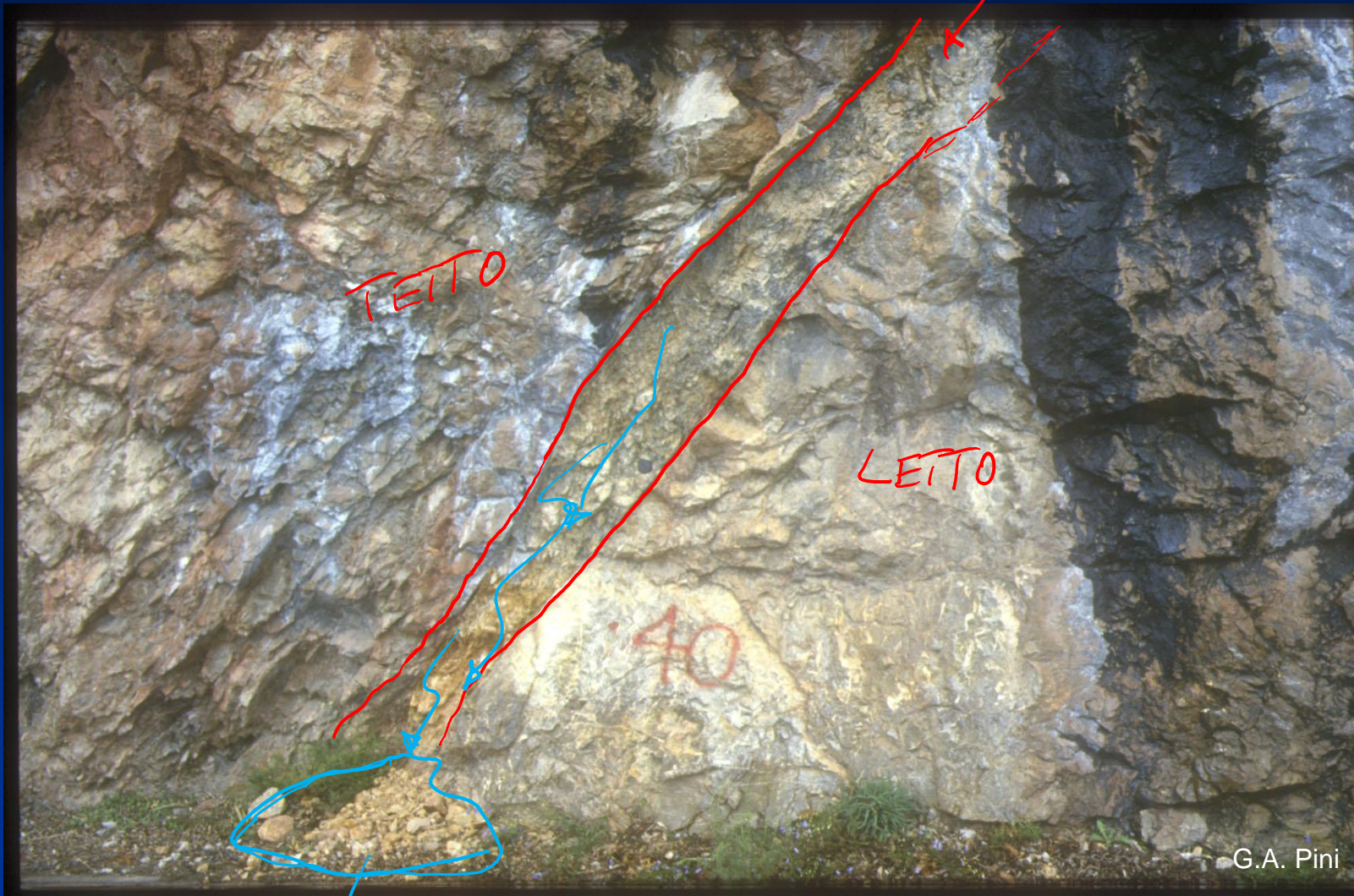
Fig. 5 - Photographs (a, b) and scheme (c) of the pressure solution cleavage and shear plane distribution in pressure solution fault rocks. Wulff net (d) show the idealized orientation of shear planes and psc. L = lithons; psc = pressure solution cleavage planes; R, D, P, Xr = shear planes (see fig. 4); ★ = principal contact surface.

ROCCIA DI
FAGUA DA
PRESSURE
SOLUTION
+
FAGUA
(RIEDEL
SLIP)



ROCCIA DI FAGLIA, CATACLASTICA

SIMETRICA



CATACLASITE
NON COESIVA

DETITI CADUTI
DALLA CATACLASITE

CATACLASITE
SIMETRICA

CATACLASITE COESIVA
A GRANULOMETRICA INFERIORI AI 2/3 mm

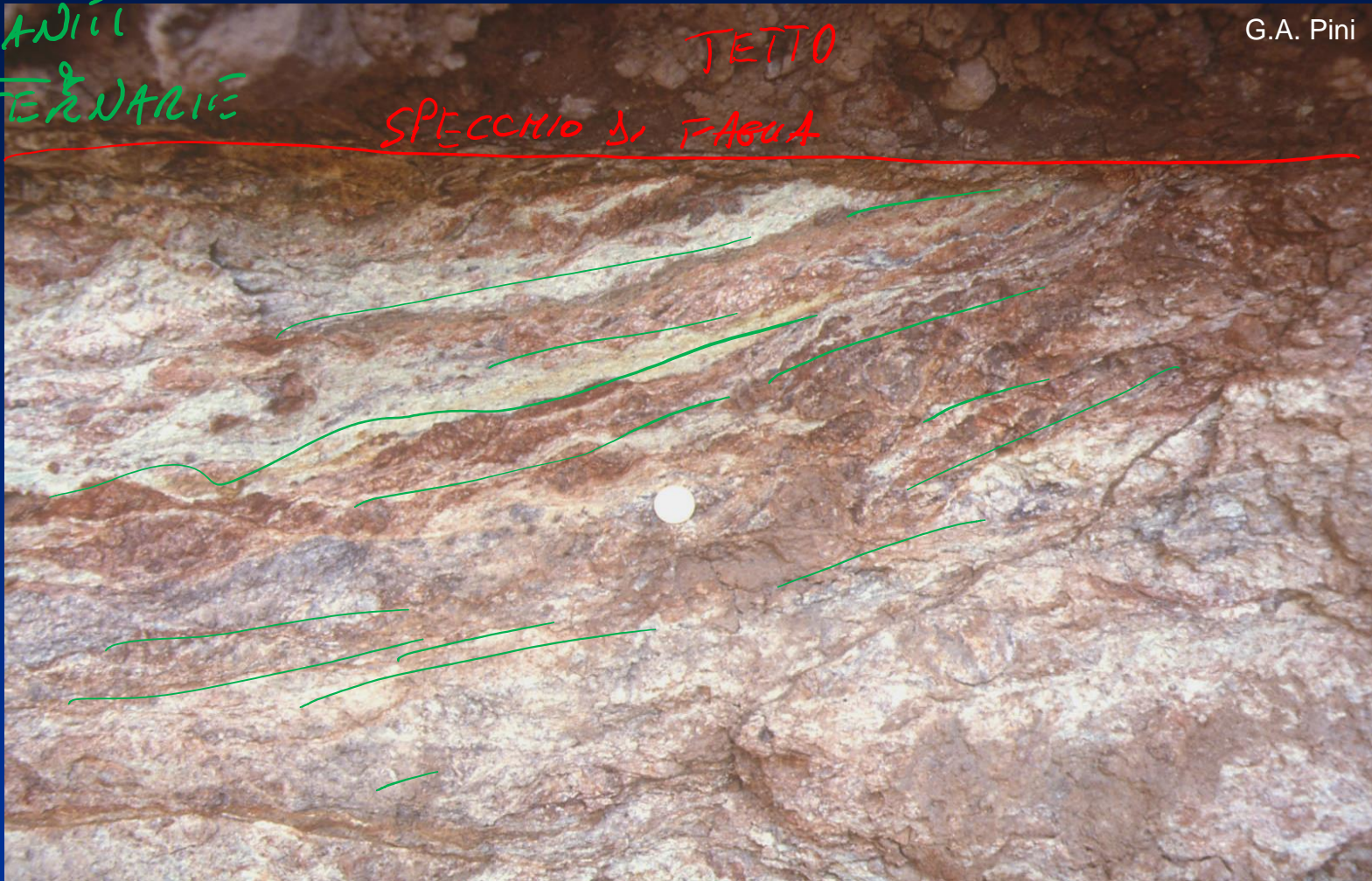
TETTO:

VULCANICO
QUATERNARIE

TETTO

G.A. Pini

TRANS
NETTA



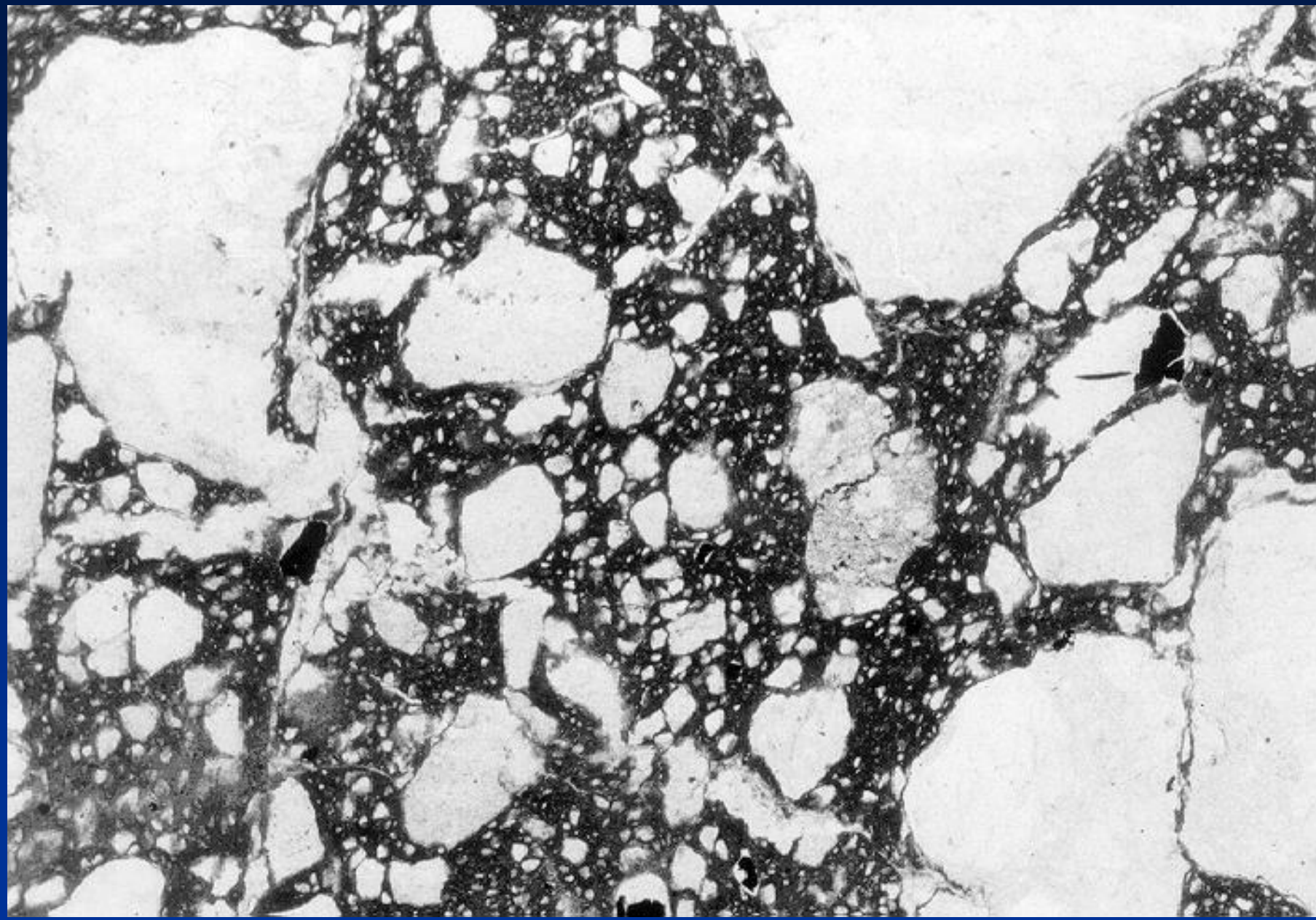
FAGUA
NORDAL
UE
DEATH
VALLEY

TRANSIZIONE
GRADUALE

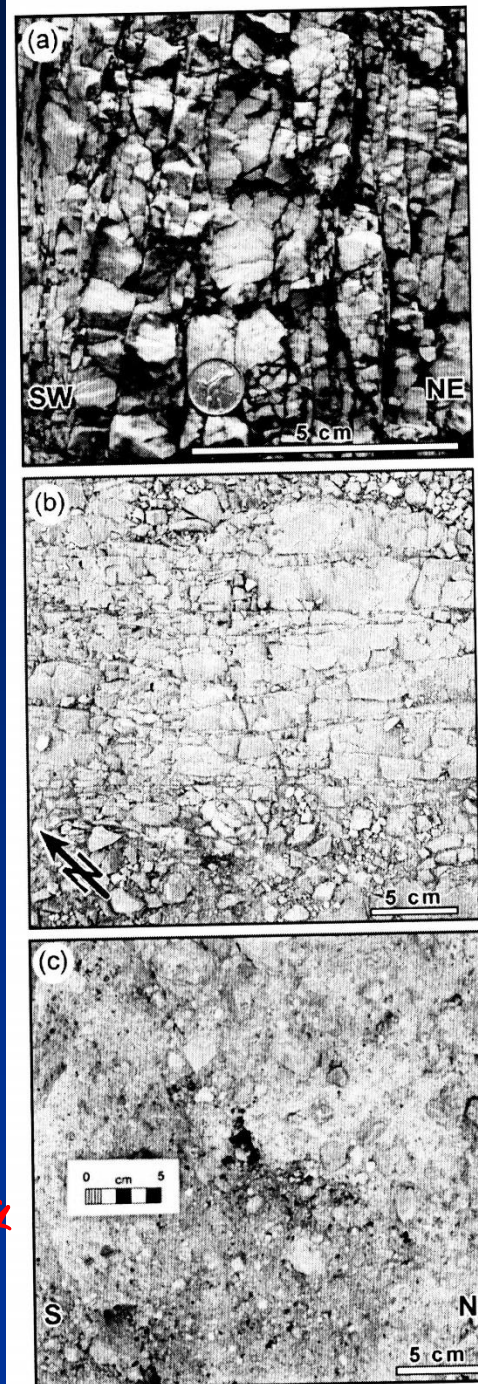
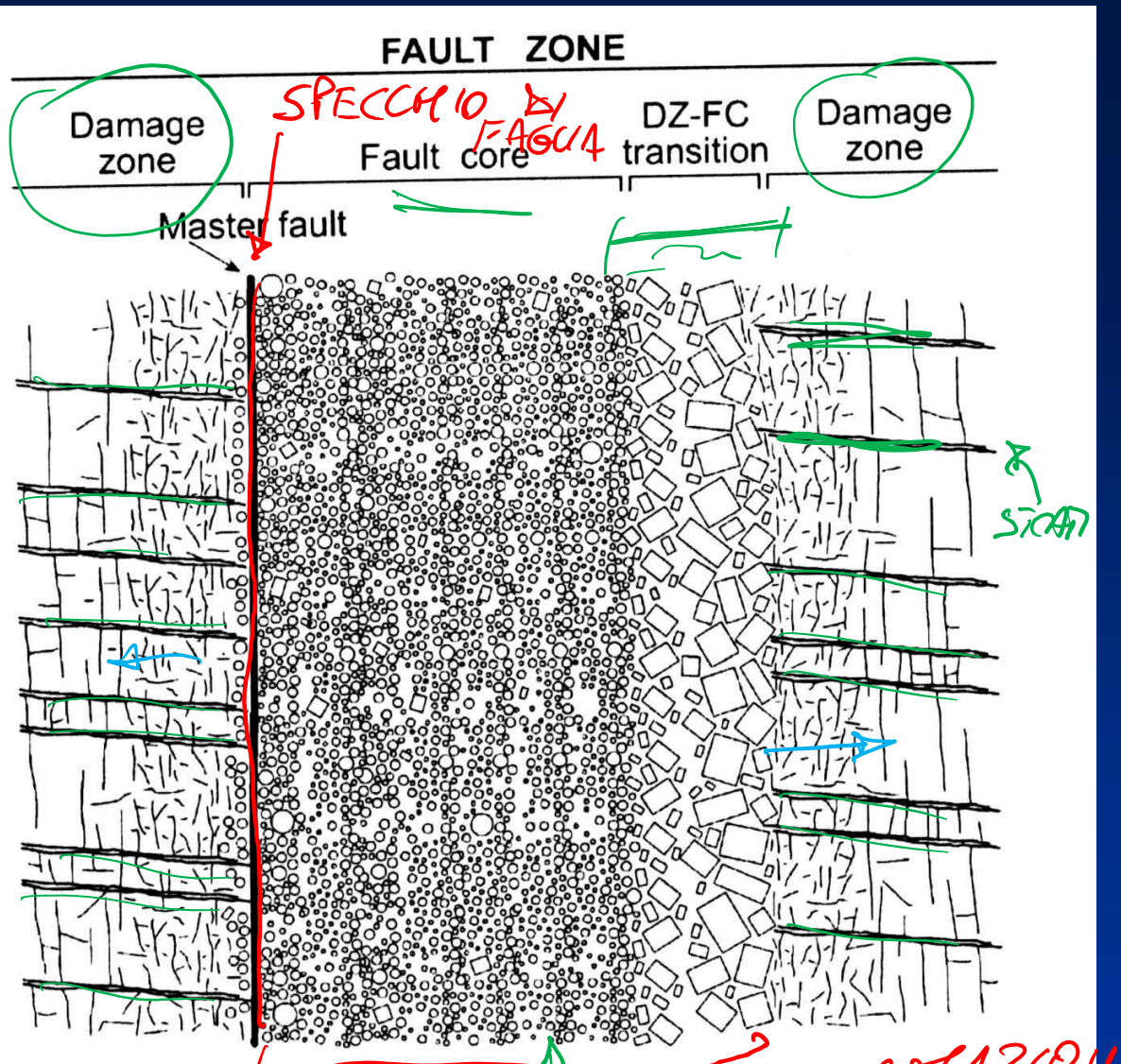
ULTRA-CATACLASITE
ASIMMETRICA LETTO
PRE-CAJIBRIA NE



Da Ramsay & Huber, 1987



Da Passchier & Trouw, 1996



Rocce di faglia

- 1) Duttili superficiali
- 2) Fragili
- 3) **Duttili**

- 1) *Bande di scorimento granuli in arenarie-siltiti; clivaggio scaglioso*
 - *Transizione: da scorimento indipendente granuli a grain breakage; aumento pervasività e diminuzione spaziatura clivaggio scaglioso*
- 2) *Rocce di faglia da: taglio (clivaggio scaglioso), dissoluzione da pressione (PSC+meso-faglie+eventuale clivaggio scaglioso); cataclasiti, pseudotachiliti*
 - *Transizione: da cataclasiti a miloniti; pseudotachiliti*
- 3) *Zone di taglio duttile: miloniti ($S-C$ e $S-C'$ miloniti, pseudotachiliti (?), indicatori cinematici)*

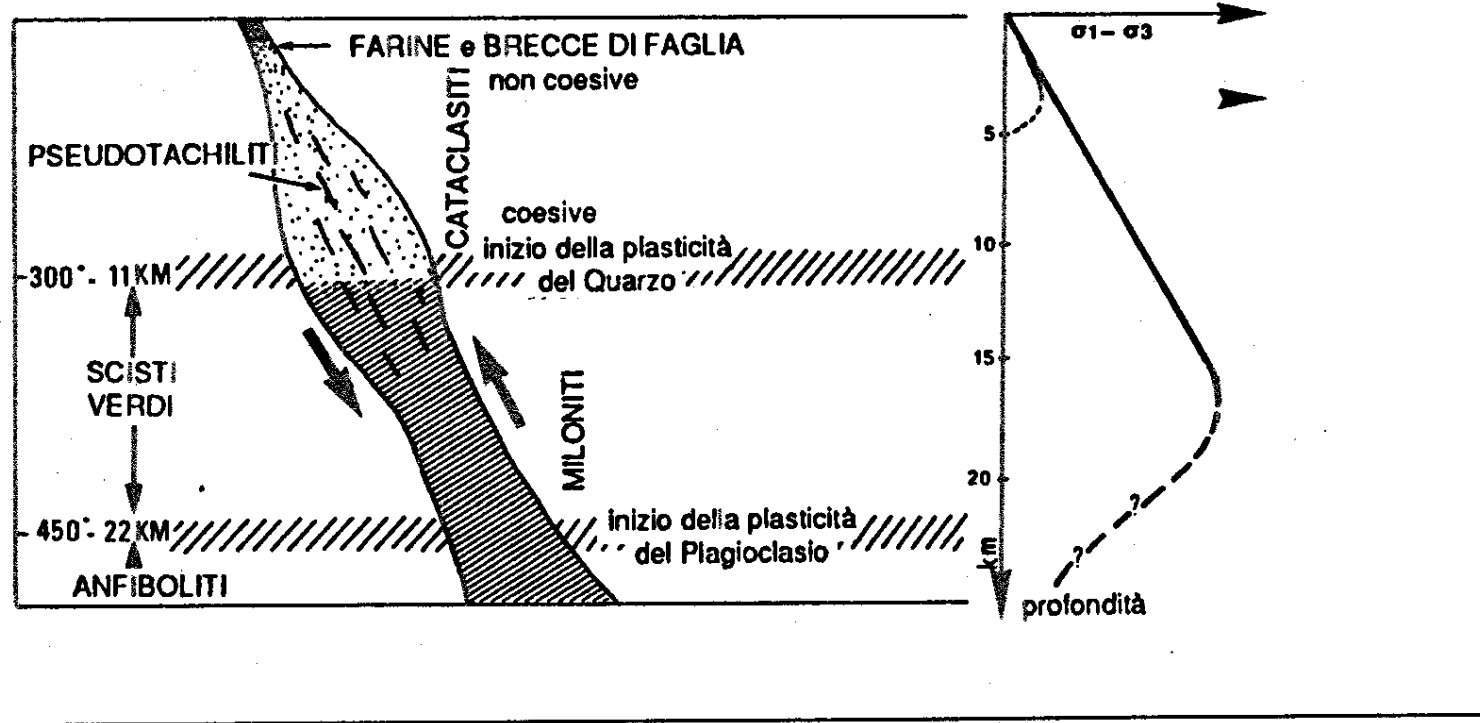
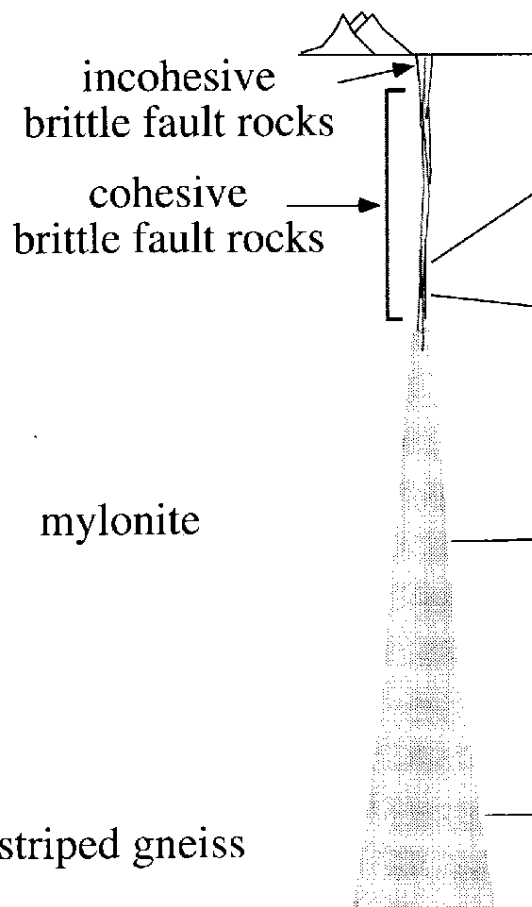
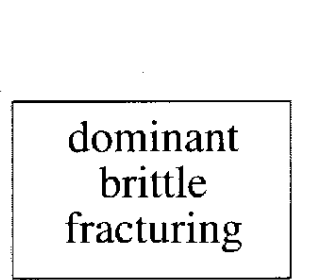
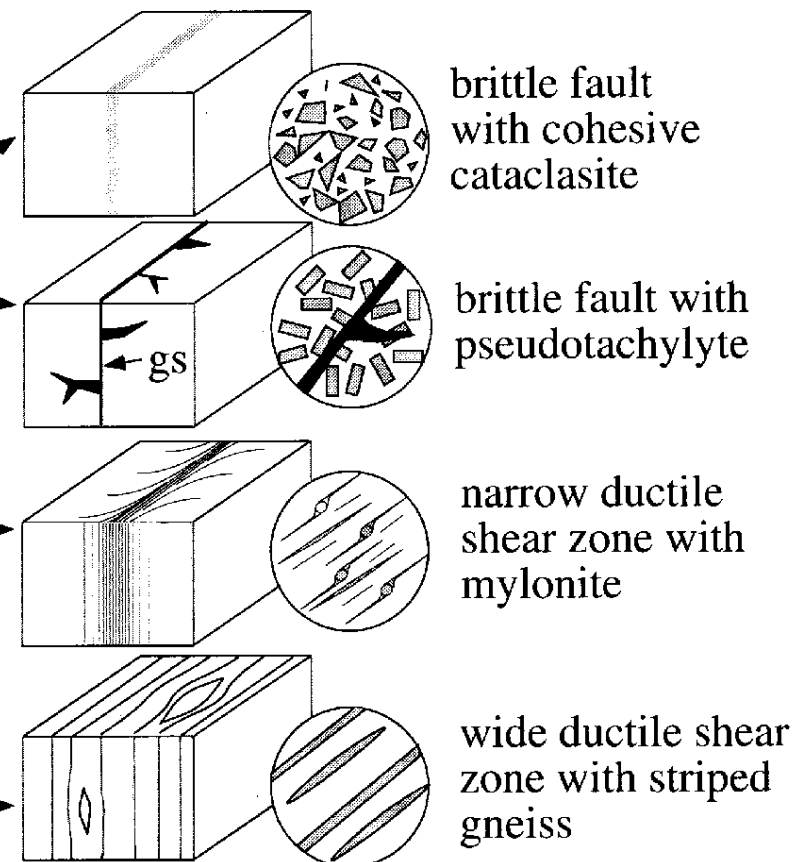
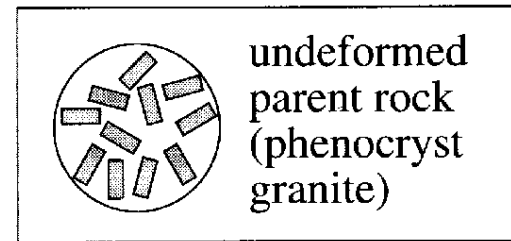


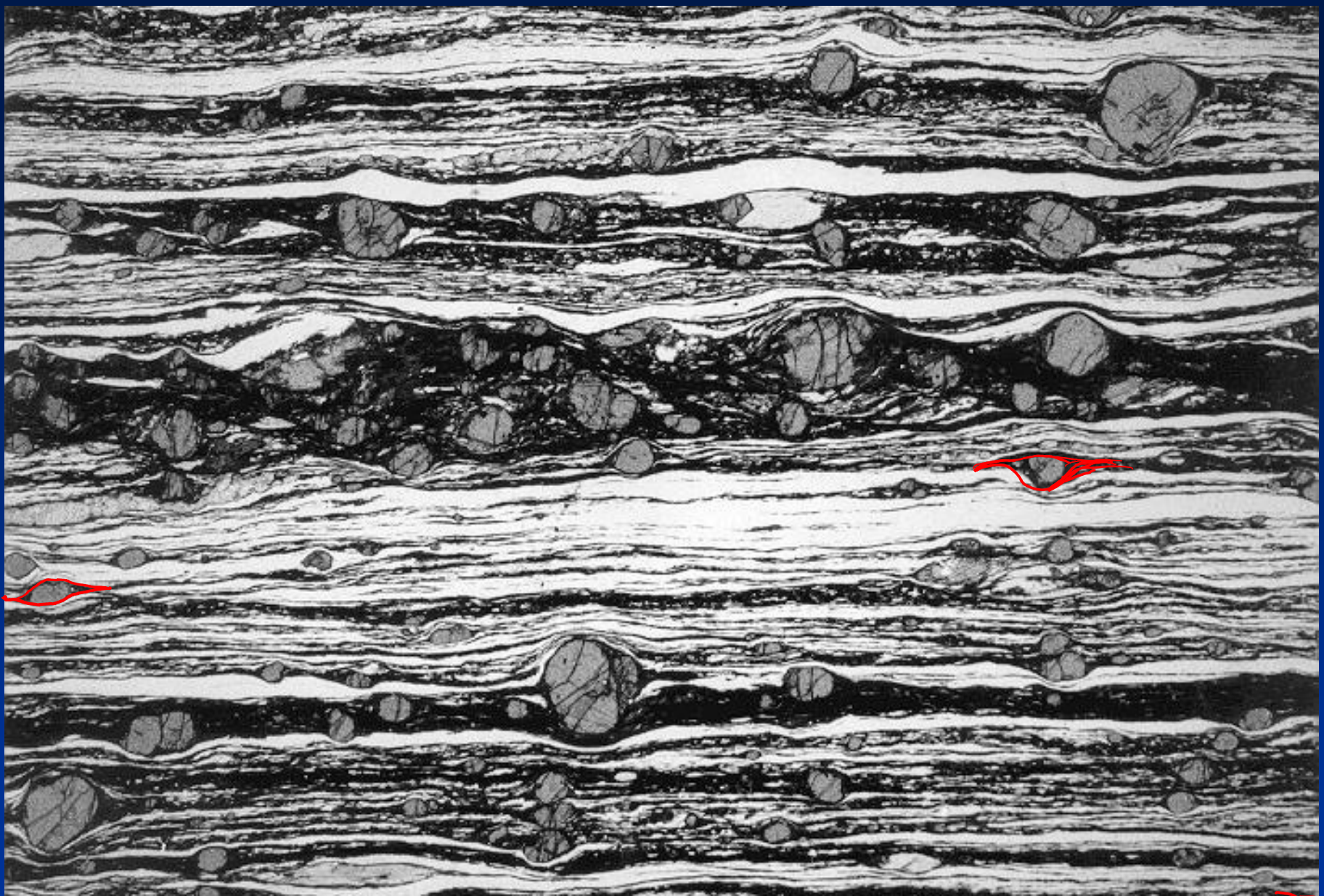
Figura 5.5. I diversi tipi di rocce deformate associate ad una faglia principale (da Sibson, 1977, J. Geol. Soc. London, 133, 191, e Scholtz, 1988, Geol. Rund. Stuttgart, 77, 319, modificato). Lo sforzo differenziale ($\sigma_1 - \sigma_3$) decresce quando la deformazione duttile aumenta; il tratto puntinato corrisponde alle condizioni dei bacini sedimentari (vedi Fig. 4.16).

a



b



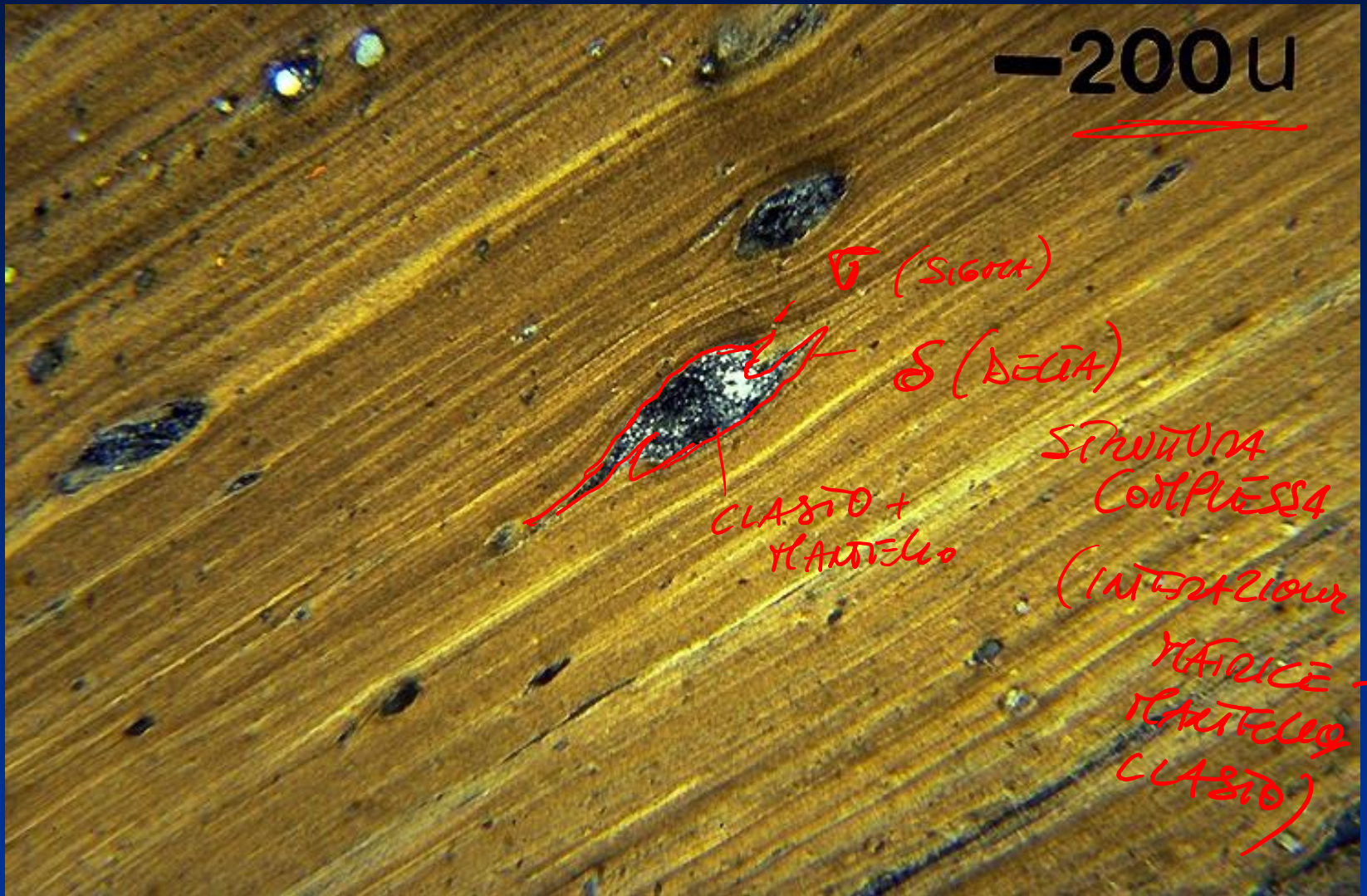


Da Passchier & Trouw, 1996

CLASTI, BLASTI, MATRIX (FOLIAZIO), PLANIZIO



Da Passchier & Trouw, 1996



FOLIAZIONE

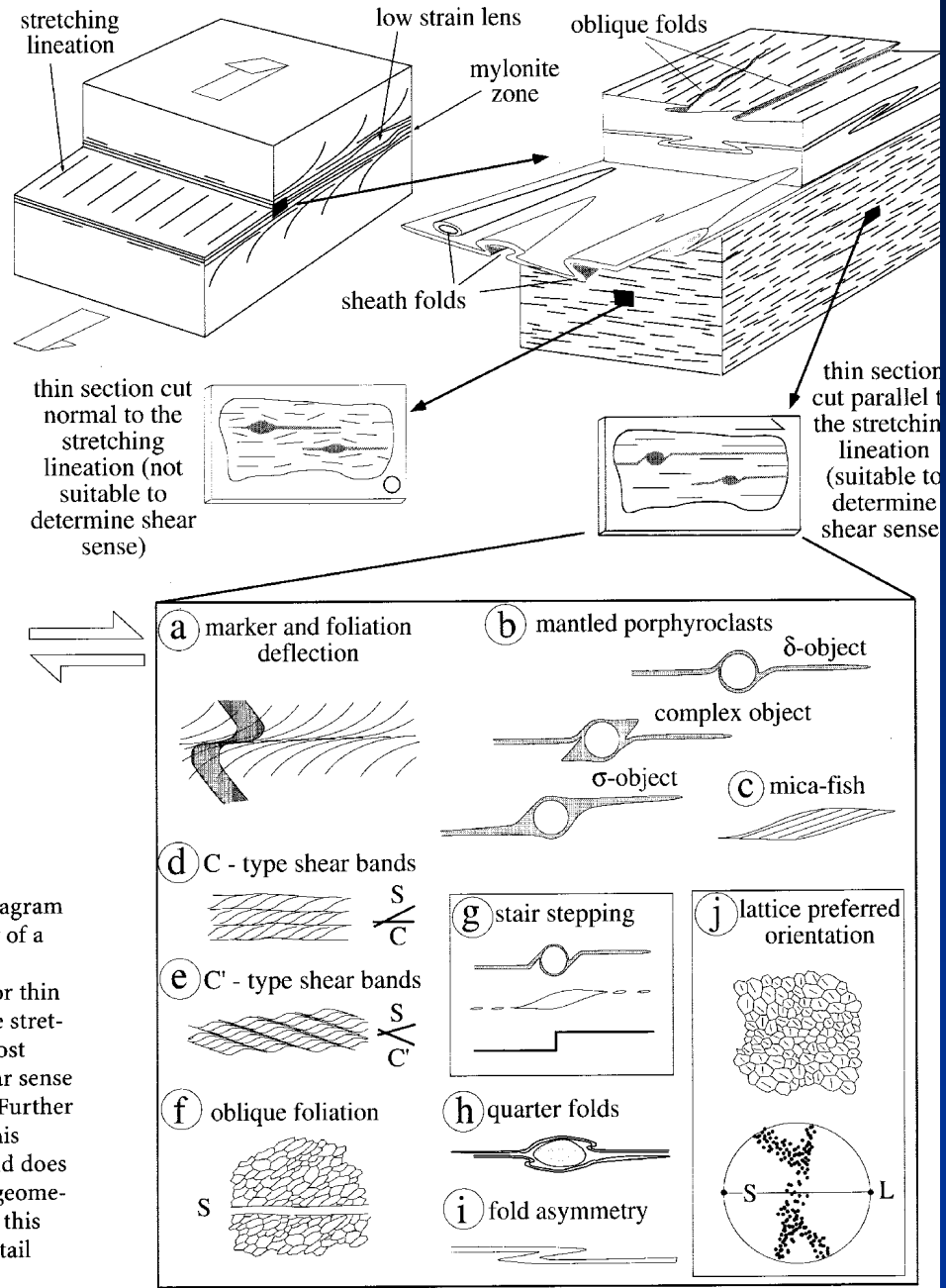
Da Passchier & Trouw, 1996

ULTRATRIZIONE

STRUTTURE
 D'UTILIZZ.
 DI
 DEFORM.
 DISORGENEZA
 ↓
 INDICATORI
 CINERATICI

Da Passchier & Trouw, 1996

Fig. 5.9. Schematic diagram showing the geometry of a mylonite zone and the nomenclature used. For thin sections parallel to the stretching lineation, the most common types of shear sense indicators are shown. Further explanation in text. This Figure is schematic and does not show all possible geometries. Other Figures in this chapter show more detail



Indicatori cinematici: strutture σ

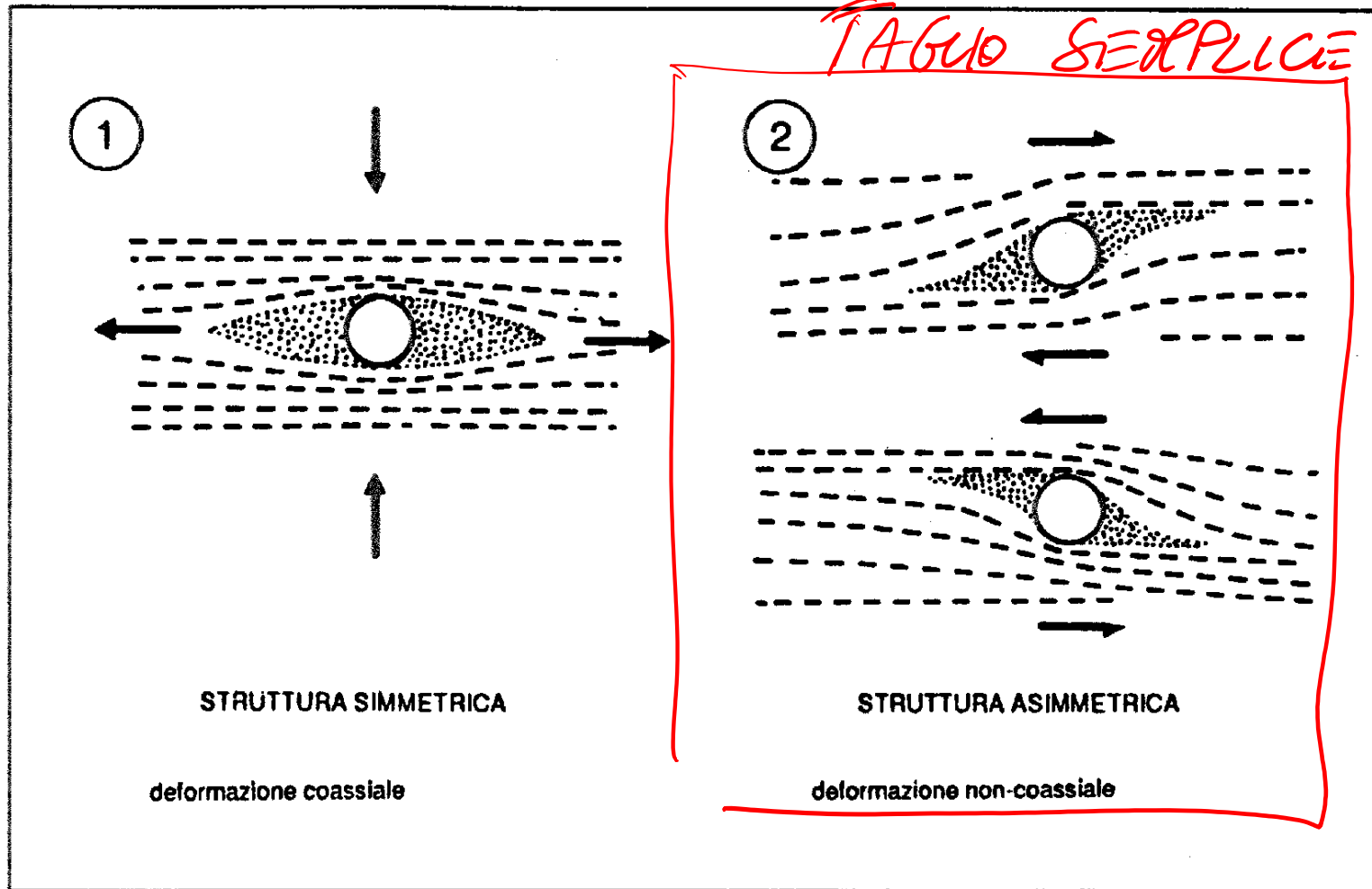


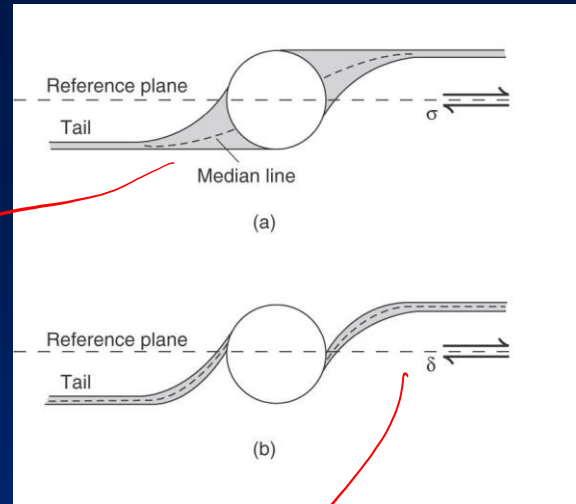
Figura 7.20. Relazioni tra simmetria delle strutture e modalità deformativa.

strutture σ e δ



sigma feldspar porphyroclast,
recrystallized, Salta, Norway

© Haakon Fossen



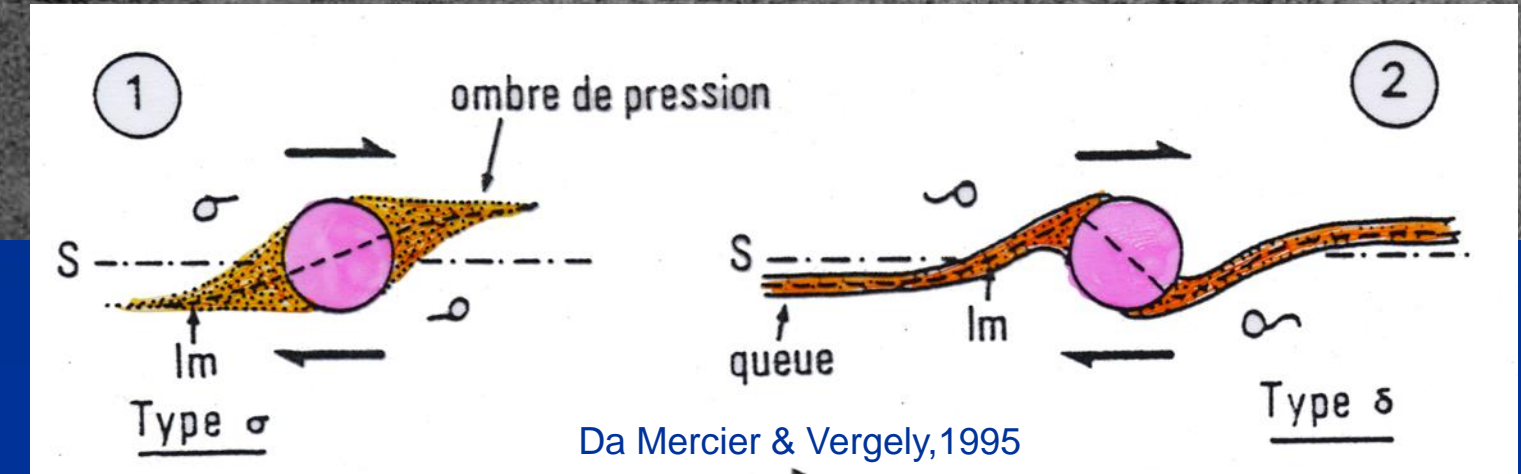
Da van der Pluijm B., Marshak
S., 2004, 2010

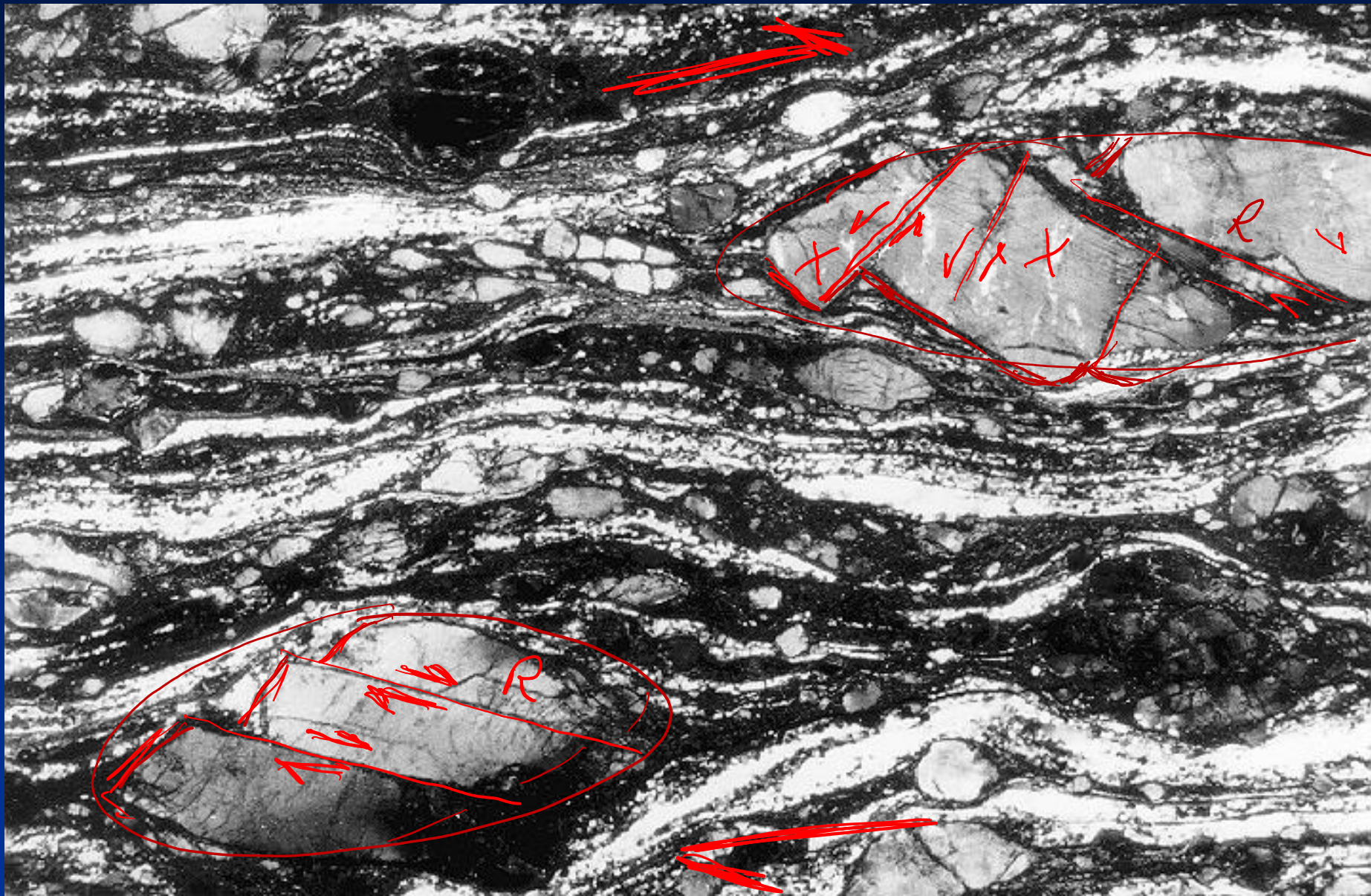


Delta-porphyroblast, Sogn

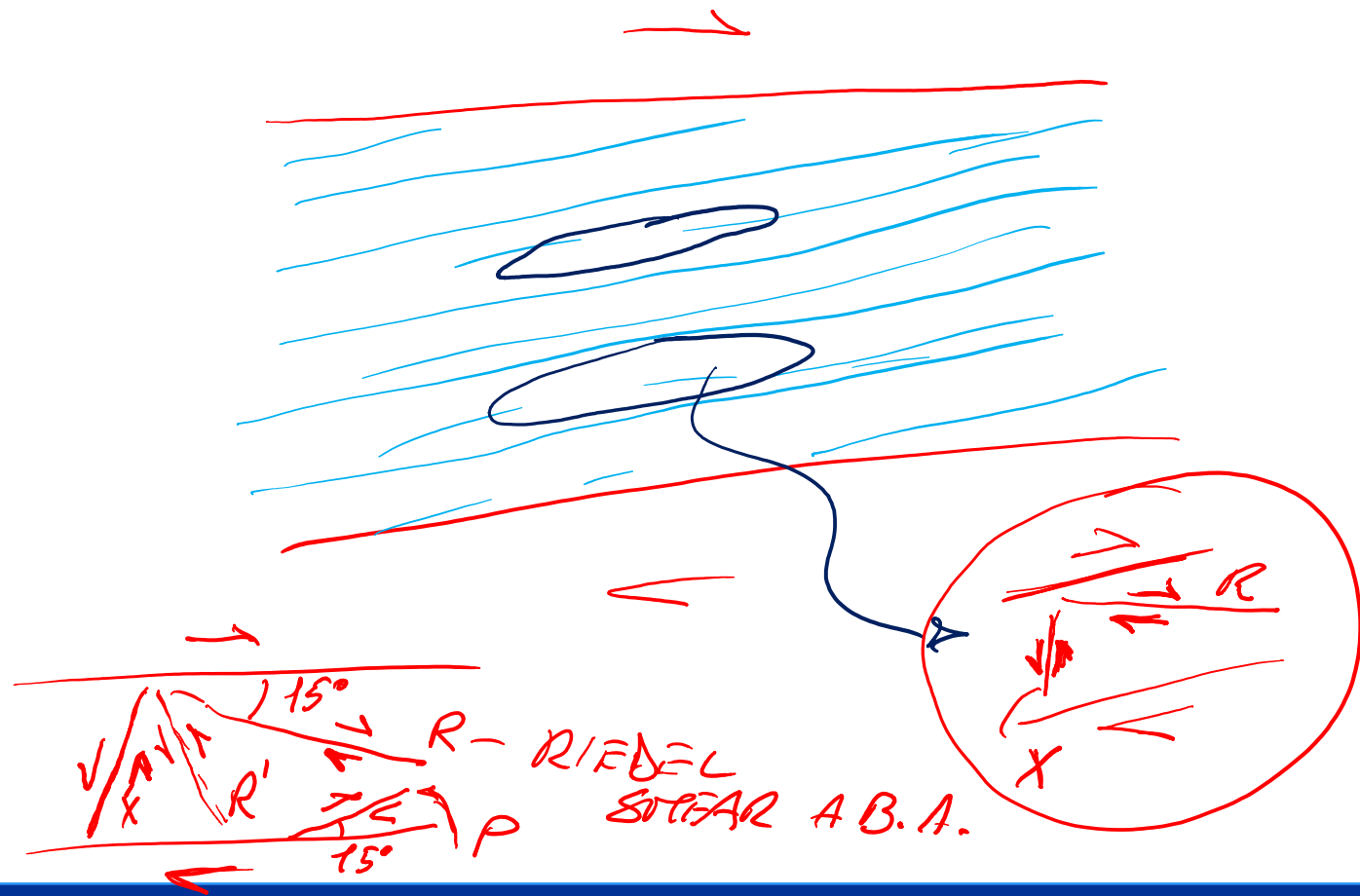
© Haakon Fossen

Da Fossen, 2010

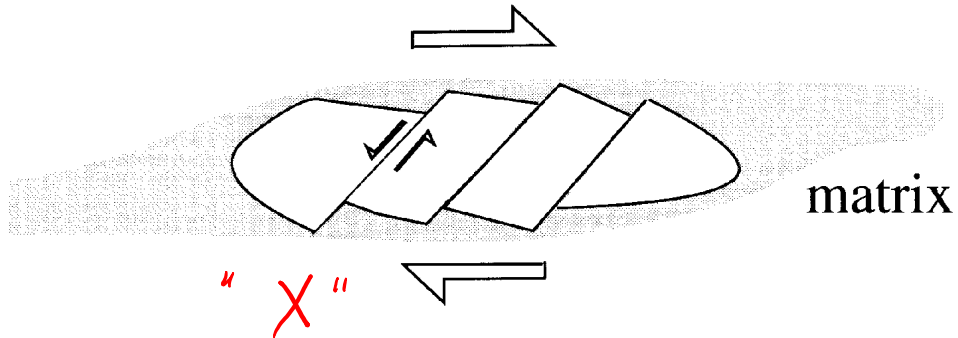




Passchier & Trouw, 2006



antithetic microfaults or shear zones in grains



synthetic microfaults or shear zones in grains

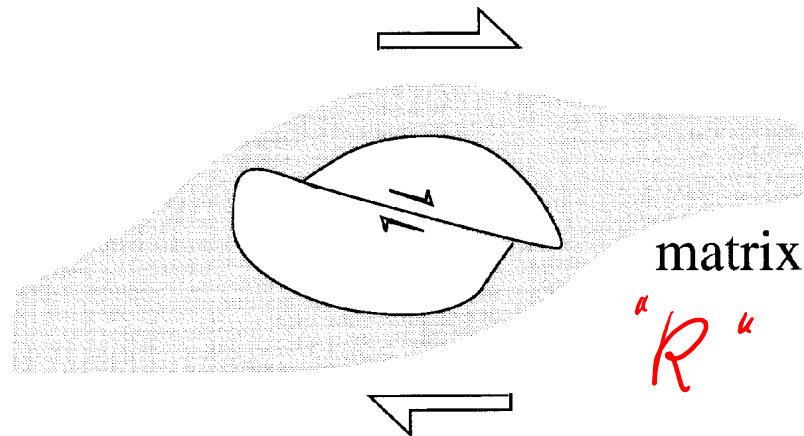
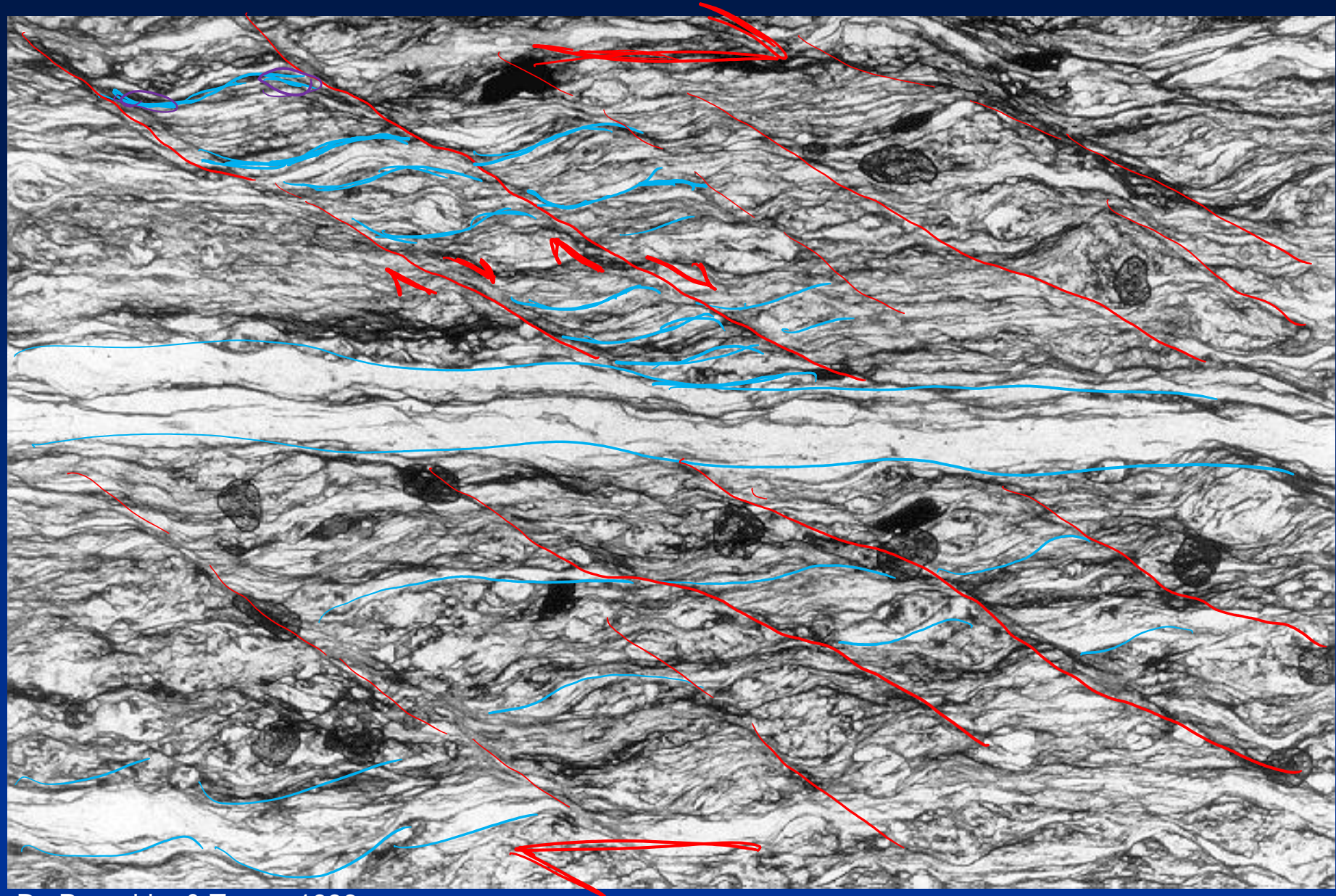


Fig. 5.31. Illustration of the two mechanisms of formation of stepped fragmented grains at similar bulk shear sense (*large arrows*)



Da Passchier & Trouw, 1996

Indicatori cinematici: strutture S-C e S-C'

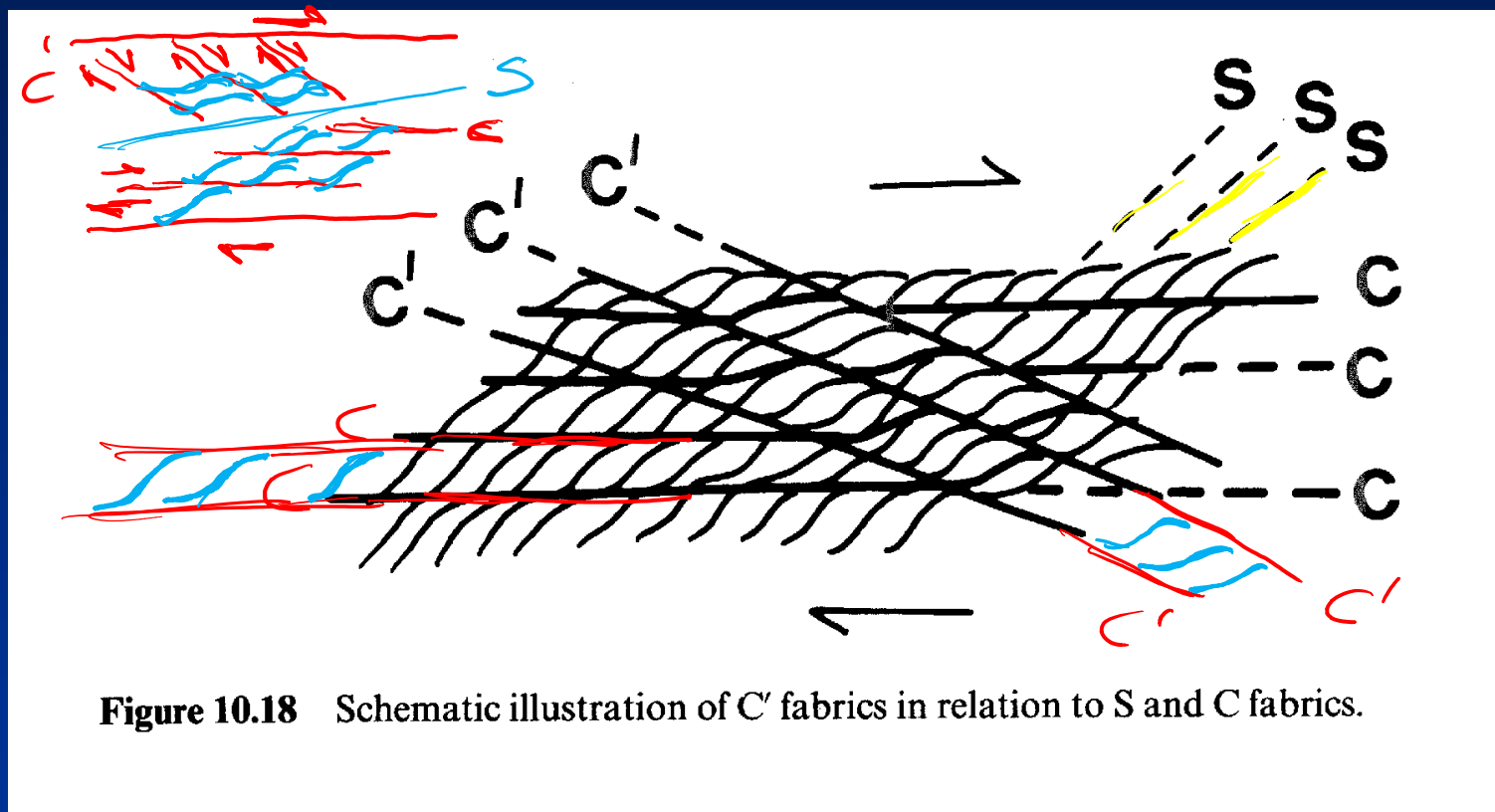
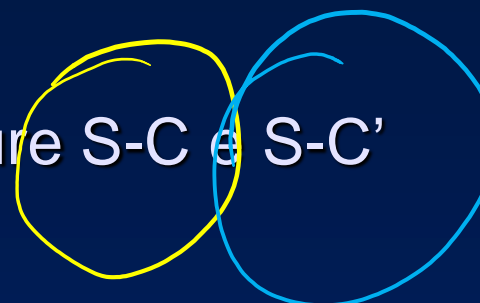
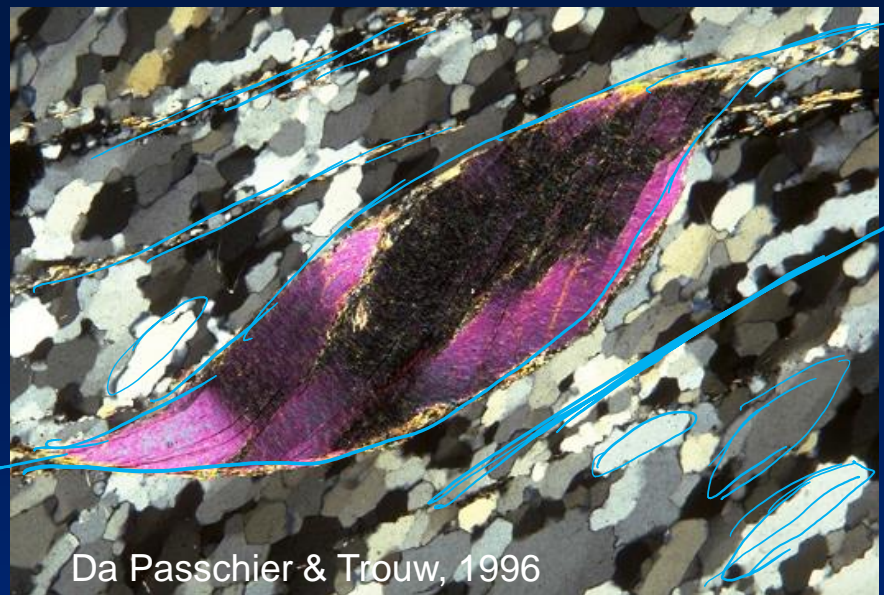


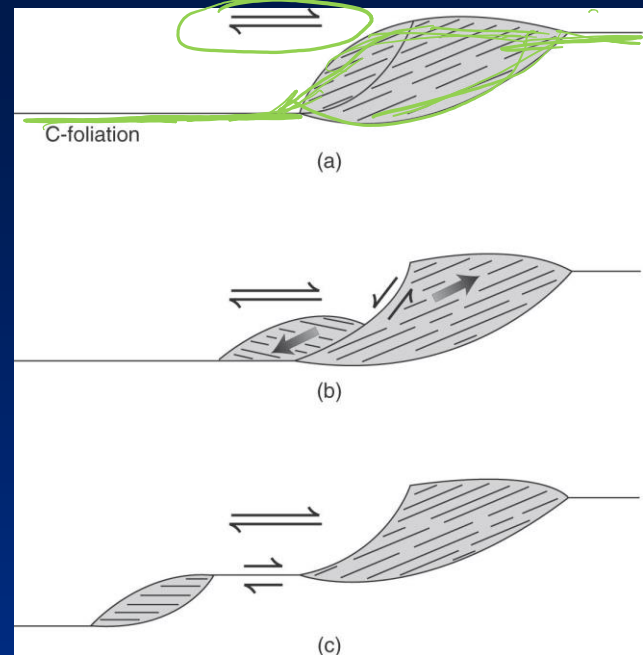
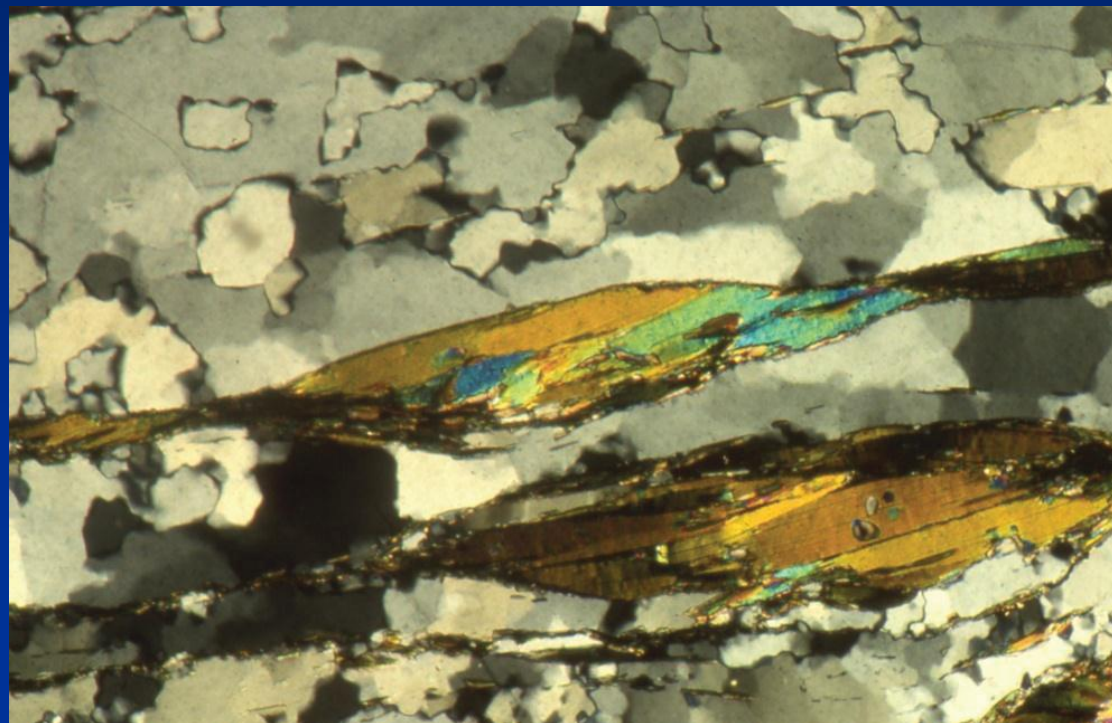
Figure 10.18 Schematic illustration of C' fabrics in relation to S and C fabrics.

Da Barker, 1990

Indicatori cinematici: «mica fish»



Da Passchier & Trouw, 1996

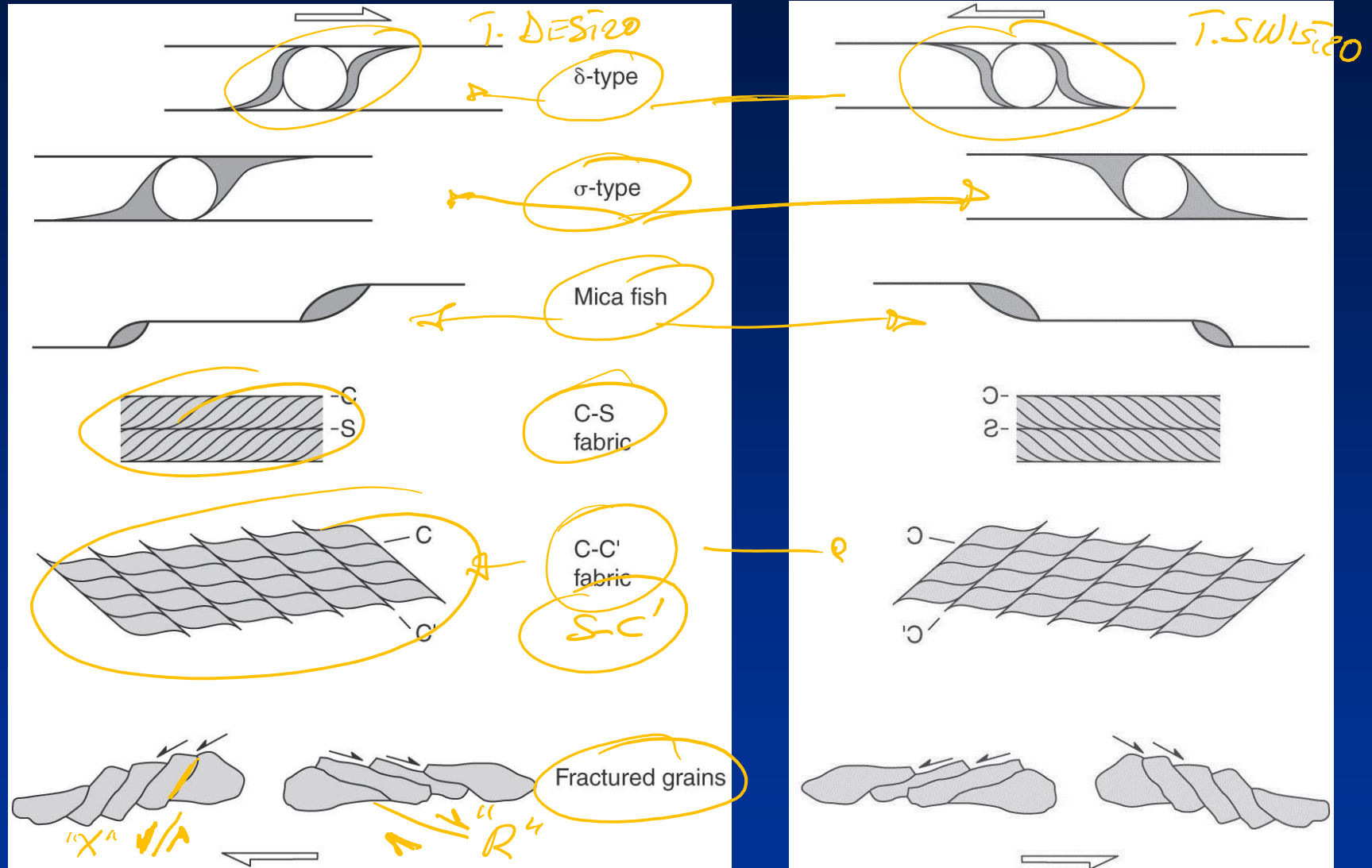


Da van der Pluijm B., Marshak S.,
2004, 2010



Figure 10.21 Trails and stair-stepping between mica-fish.

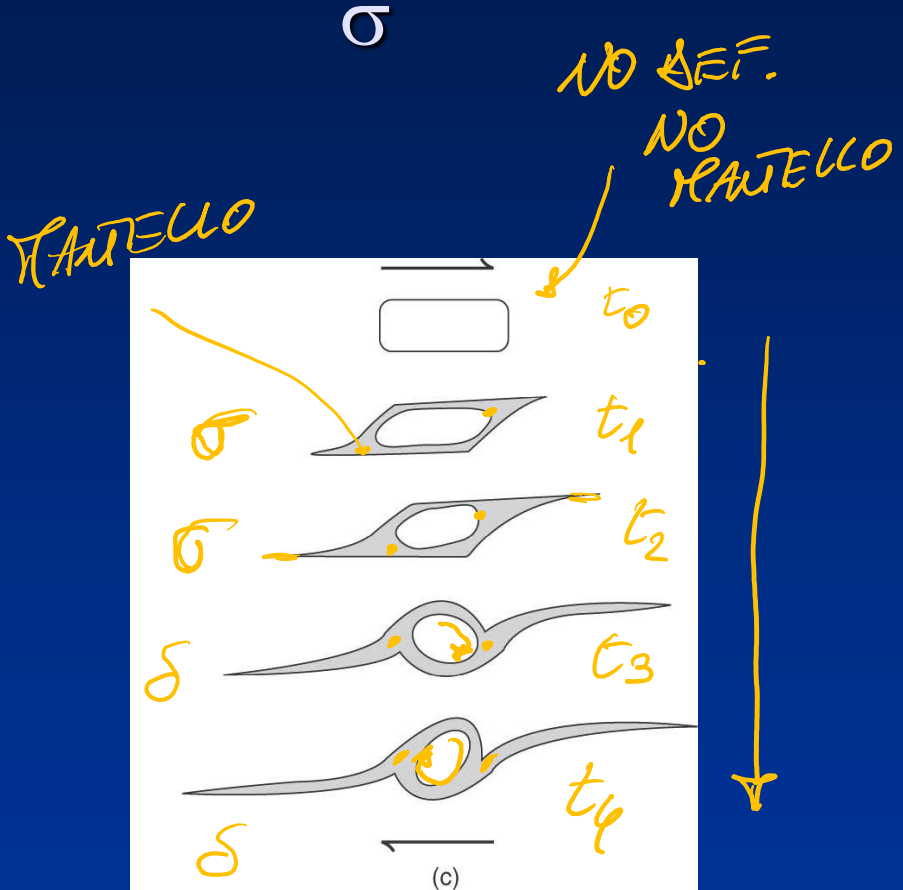
Da Barker, 1990



Indicatori cinematici, strutture complesse: code δ , evoluzione da



Da van der Pluijm B., Marshak S., 2004, 2010

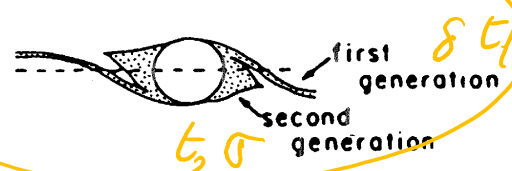


Da van der Pluijm B., Marshak S., 2004, 2010

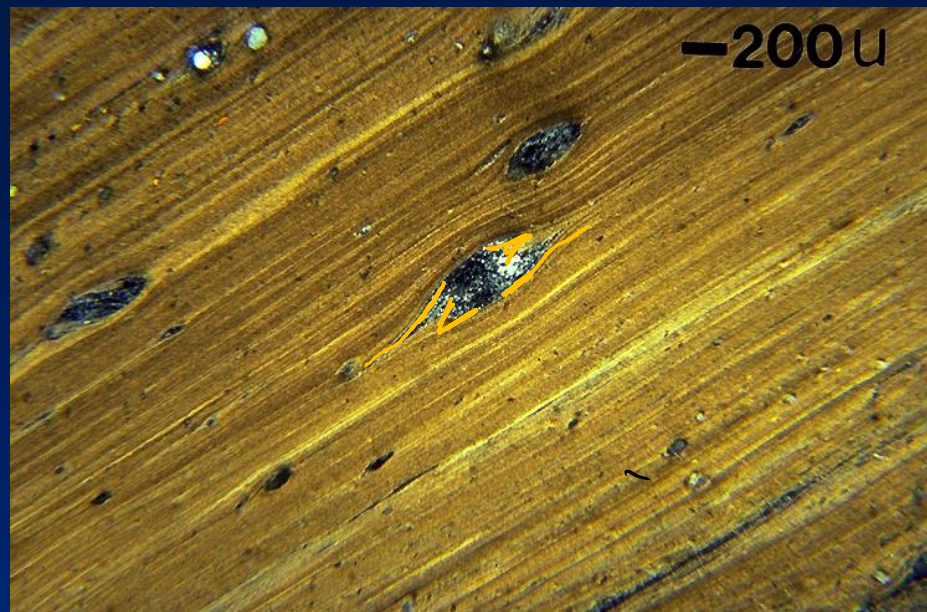
"overturned" systems



complex $\sigma - \delta$ systems



-200 μ



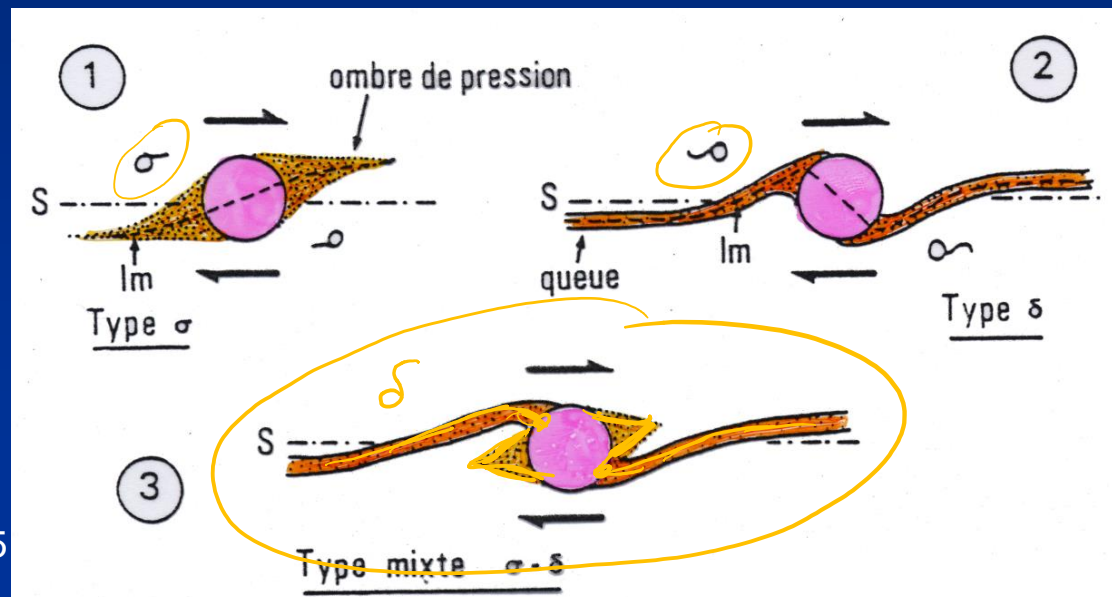
Da Passchier & Trouw, 1996

Figure 10.15 Overturned and complex $\sigma - \delta$ porphyroblast systems (after Passchier and Simpson, 1986, Figure 2h).

Da Barker, 1990



Mercier & Vergely, 1995



Rocce di faglia

- 1) Duttili superficiali
- 2) Fragili
- 3) Duttili

- 1) *Bande di scorimento granuli in arenarie-siltiti; clivaggio scaglioso*
 - *Transizione: da scorimento indipendente granuli a grain breakage; aumento pervasività e diminuzione spaziatura clivaggio scaglioso*
- 2) *Rocce di faglia da: taglio (clivaggio scaglioso), dissoluzione da pressione (PSC+meso-faglie+eventuale clivaggio scaglioso); cataclasiti, pseudotachiliti*
 - *Transizione: da cataclasiti a miloniti; pseudotachiliti*
- 3) *Zone di taglio duttile: miloniti (S-C e S-C' miloniti, pseudotachiliti (?), indicatori cinematici)*



Da Ramsay & Huber, 1987

VETRIFICA-
ZIONE
DELLA
ROCCIA
!!!

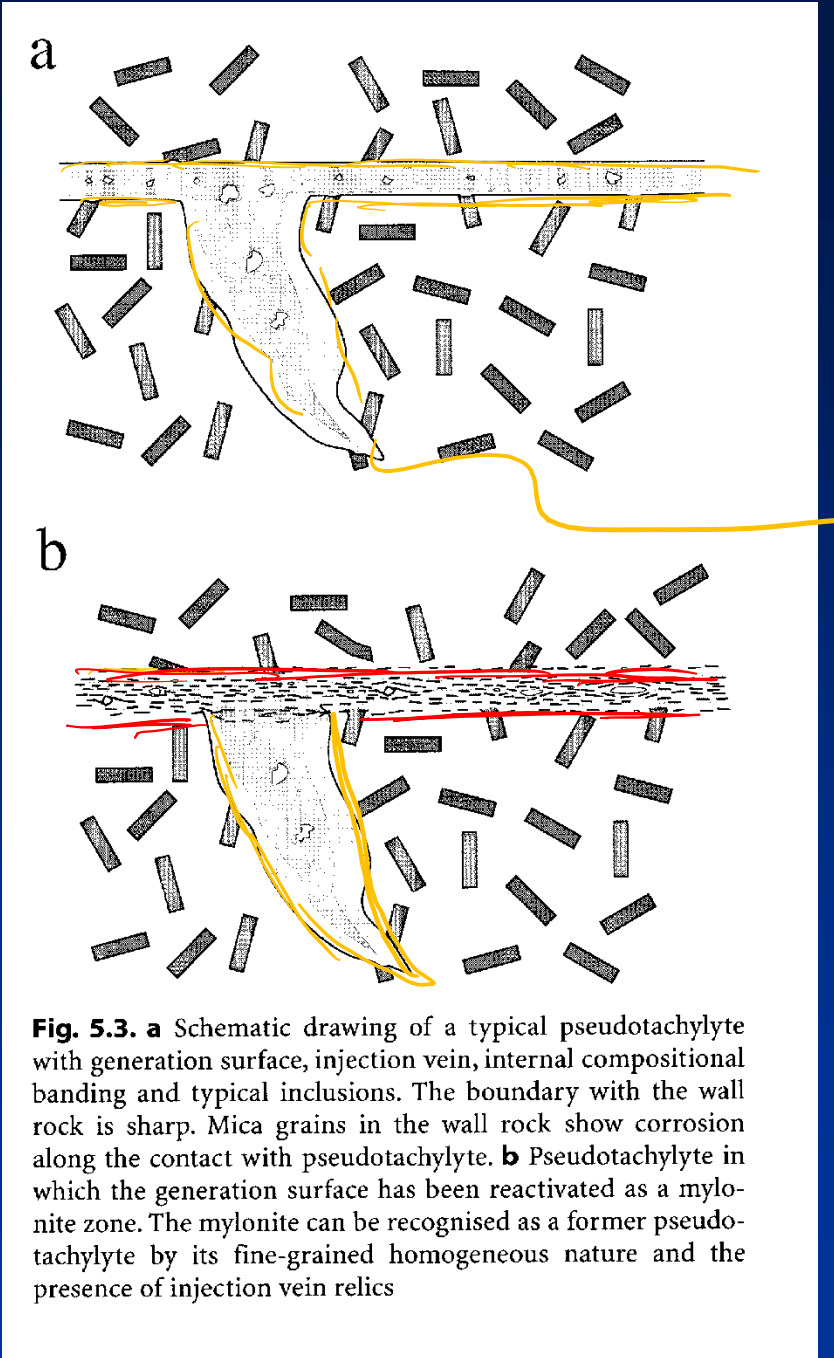
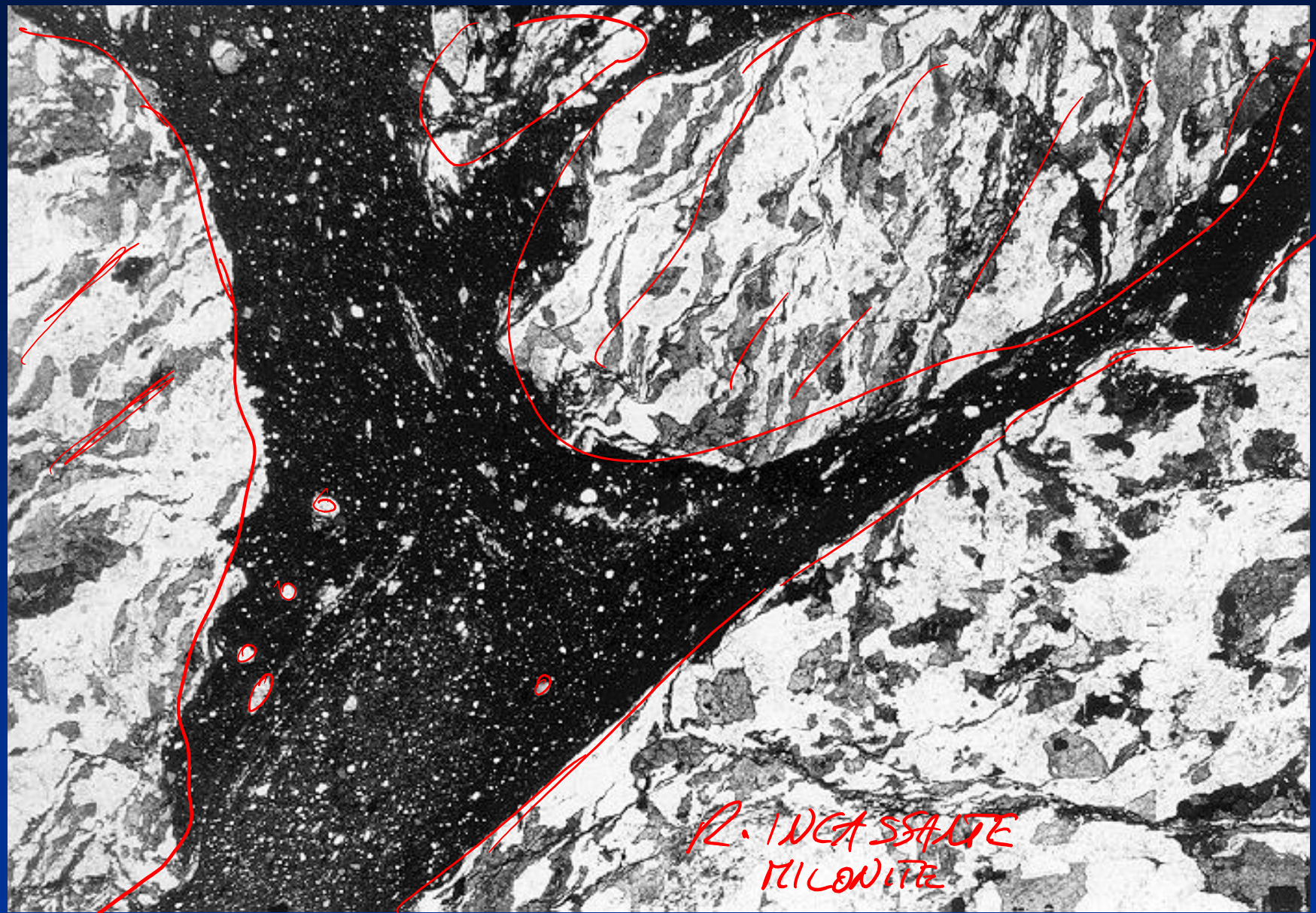


Fig. 5.3. **a** Schematic drawing of a typical pseudotachylite with generation surface, injection vein, internal compositional banding and typical inclusions. The boundary with the wall rock is sharp. Mica grains in the wall rock show corrosion along the contact with pseudotachylite. **b** Pseudotachylite in which the generation surface has been reactivated as a mylonite zone. The mylonite can be recognised as a former pseudotachylite by its fine-grained homogeneous nature and the presence of injection vein relics

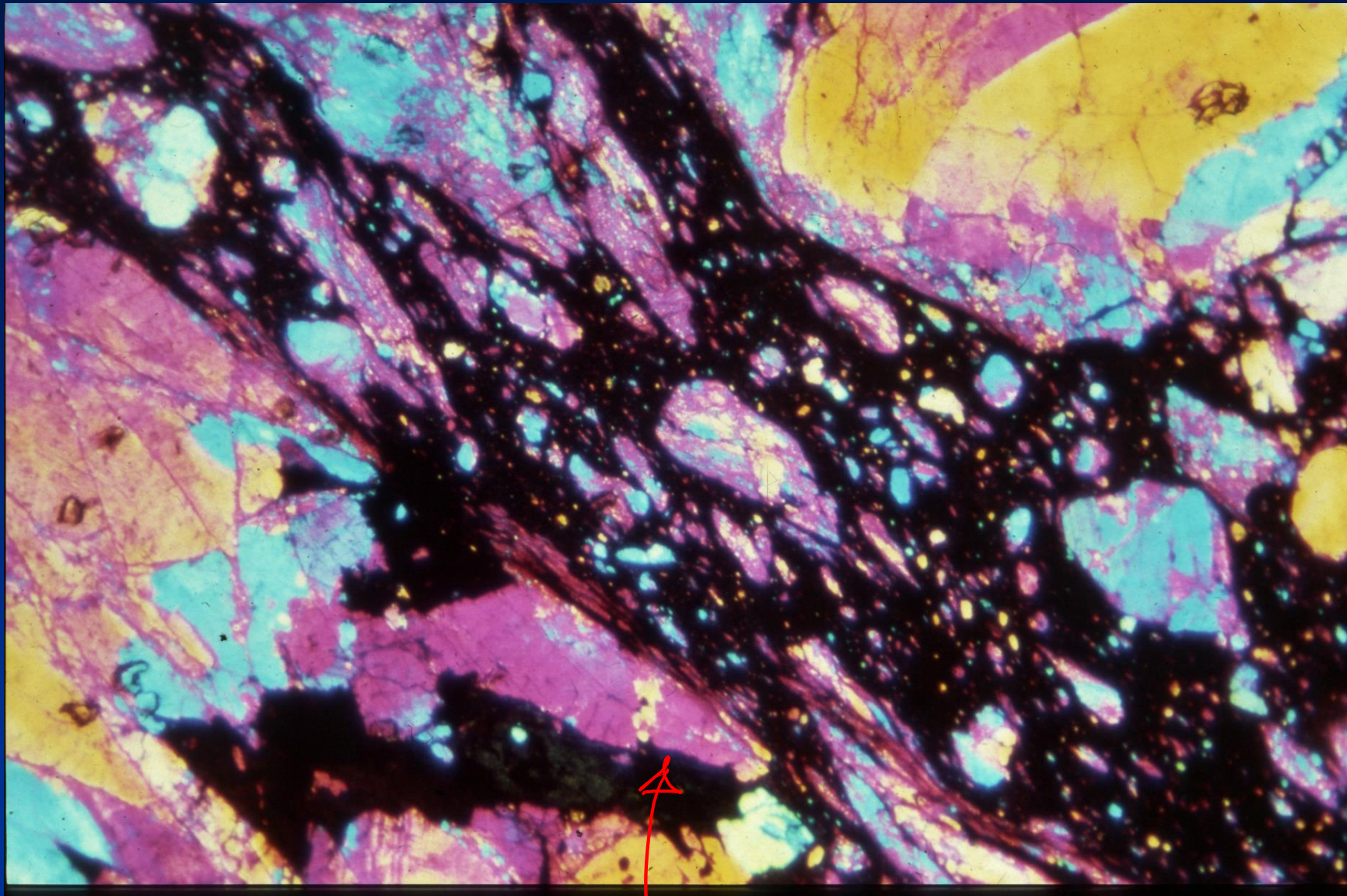
PSEUDOTACH.
≡
FOYLONITE

PSEUDOTACH
≠
FOYLONITE
↓
σ₁

A hand-drawn sketch on a blue background showing a series of red horizontal lines representing 'mylonite zones'. Between these lines, there are yellow wavy lines representing 'pseudotachylite'. Arrows point downwards from the text 'PSEUDOTACH ≠ FOYLONITE' towards the sketch, indicating a comparison between the two types of zones.



Da Passchier & Trouw, 1996



Da Ramsay & Huber, 1987

VETRO = OCTIVE OF T.
OR FUSIONE

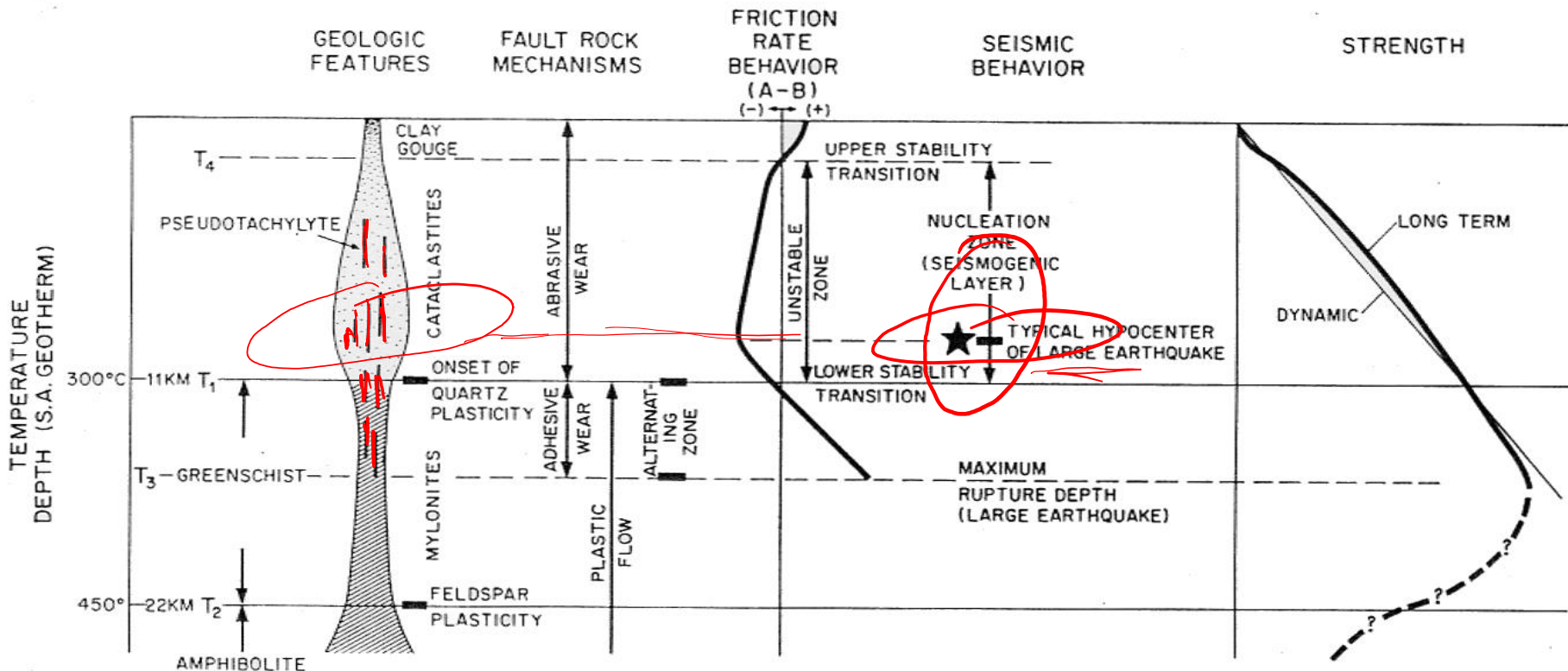


Fig. 3.19 Synoptic model of a shear zone. See the text for explanation. (From Scholz, 1988).

Da Sholz, 2002

RILASCIO ENERGIA
PSEUDOTACHYLITE

ONDE ELASTICHE SISMICHE
CALORE